

DAFTAR PUSTAKA

- Arfan, A.R., 2017, *Sintesis Nanopartikel Perak Menggunakan Ekstrak Hidroid Aglaophenia cupressina Lamouroux sebagai Bioreduktor dan Uji Potensinya Sebagai Antibakteri*, Skripsi Tidak Diterbitkan, Departemen Kimia Fakultas Matematika dan Ilmu Pengetahuan Alam Universitas Hasanuddin, Makassar.
- Apriandau, D.O.B., Wahyuni, S., Hadisaputro, S., dan Harjono, 2013, Sintesis Nanopartikel Perak Menggunakan Metode Poliol Dengan Agen Stabilisator Polivinil Alkohol (PVA), *Jurnal MIPA*, **36**(2): 157-168.
- Ariyanta, H.A., 2014, Preparasi Nanopartikel Perak Dengan Metode Reduksi Dan Aplikasinya Sebagai Antibakteri Penyebab Luka Infeksi, *Jurnal MKMI*, 36-42.
- Abdullah, M., dan Khairurrijal, 2009, Karakterisasi Nanomaterial, *Jurnal Nanosains & Nanoteknologi*, **2**(1): 1-9.
- Asri, M., 2015, *Karakterisasi Nanopartikel Emas dan Aplikasinya sebagai Sensor Kadar Gula Darah*, tesis tidak diterbitkan, Jurusan Kimia FMIPA Universitas Hasanuddin, Makassar.
- Abdel-Aziz, M.S., Shaheen, M.S., Aziza A., El-Nekeety, A.A., dan Abdel-Wahhab, M.A., 2013, Antioxidant And Antibacterial Activity Of Silver Nanoparticles Biosynthesized Using Chenopodium Murale Leaf Extract, *Journal of Saudi Chemical Society*, 1-8.
- Ahmad, N., Sharma, S., Alam, M.K., Singh, V.N., Shamsi, S.F., Mehta, B.R., dan Fatma, A., 2010, Rapid Synthesis Of Silver Nanoparticles Using Dried Medicinal Plant Of Basil, *Colloids and Surfaces B: Biointerfaces*, **81**: 81-86.
- Bharathi, D., Josebin, M.D., VasanthaRaj, S., dan Bhuvaneshwari, V., 2018, Biosynthesis Of Silver Nanoparticles Using Stem Bark Extracts Of *Diospyros Montana* And Their Antioxidant And Antibacterial Activities, *Journal of Nanostructure in Chemistry*, 1-10.
- Bhagavathy, S., dan Kancharla, S., 2016, Wound healing and angiogenesis of silver nanoparticle from *Azadirachta indica* in diabetes induced mice, *International Journal of Herbal Medicine*, **4**(5): 24-49.
- lopez, L.M., Zavaleta-Mancera, H.A., Vilchis-Nestor, A., Soto-Hernández, R.M., Arenas-Alatorre, J., Trejo-Téllez, L.I dan Gómez-



- Merino, F., 2014, Biosynthesis of Silver Nanoparticles Using *Chenopodium ambrosioides*, *Journal of Nanomaterials*, 1-10.
- Damayanthi, E., Kustiyah, L., Khalid, M., dan Farizal, H., 2010, Aktivitas Antioksidan Bekatul Lebih Tinggi Daripada Jus Tomat Dan Penurunan Aktivitas Antioksidan Serum Setelah Intervensi Minuman Kaya Antioksidan, *Journal of Nutrition and Food*, **5**(3): 205–210.
- Firdiyani, F., Agustini, T.W., dan Ma'ruf, W.F., 2015, Ekstraksi Senyawa Bioaktif Sebagai Antioksidan Alami *Spirulina Platensis* Segar Dengan Pelarut Yang Berbeda, *JPHPI*, **18**(1): 28-32.
- Fayaz, M., Tiwary, C.S., Kalaichelvan, P.T., dan Venkatesan, R., 2009, Blue Orange Light Emission From Biogenic Synthesis Silver Nanoparticles using *Trichoderma viride*, *J. Colloids Surf. B. Biointerfaces*, **75**(8):1-5.
- Guzman, M.G., Dille, J., dan Godet, S., 2009, Synthesis Of Silver Nanoparticles By Chemical Reduction Method And Their Antibacterial Activity, *International Journal of Chemical and Biomolecular Engineering*, **2**(2): 104-111.
- Hakim, L., 2008, *Kontrol Ukuran dan Dispersitas Nanopartikel Besi Oksida*, Skripsi Tidak Diterbitkan, Jurusan Kimia, FMIPA, Universitas Indonesia, Depok.
- Haryono, A., Sondari, D., Harmami, S.B., dan Randy, M., 2008, Sintesa Nanopartikel Perak dan Potensi Aplikasinya, *Jurnal Riset Industri*, **2**(3) 156-163.
- Hubbard, C.R., 1981, *Standard X-ray Diffraction Powder Patterns*, National Measurement Laboratory, Washington.
- Handayani, H., Bakir, Imawan, C., dan Purbaningsih, S., 2010, Potensi Ekstrak Beberapa Jenis Tumbuhan Sebagai Agen Pereduksi Untuk Biosintesis Nanopartikel Perak, *Seminar Nasional Biologi*, 558-567.
- Handayani, W., 2011, *Pemanfaatan Tumbuhan Tropis Untuk Biosintesis Nanaopartikel Perak Dan Aplikasinya Sebagai Indikator Kolorimetri Keberadaan Logam Berat*, Tesis Tidak Diterbitkan, Jurusan Biologi, FMIPA, Universitas Indonesia.
- Hasan, M.I., 2012, *Modifikasi Nanopartikel Perak Dengan Polivinil Alkohol Untuk Meningkatkan Selektivitas Dan Stabilitas Indikator Logam Tembaga (Cu) Uji Coba Pada Makroalga *Kappaphycus alvarezii**, Skripsi Tidak Diterbitkan, Program Studi Farmasi, FMIPA, Universitas Indonesia, Depok.



Heryanto, Hendri, Abdullah, B., dan Tahir, D., Analysis of structural properties of X-ray diffraction for composite copper-activated carbon by modified WilliamsonHall and size-strain plotting methods, *IOP Conf. Series Journal of Physics*, **10**(80): 1-5

Isaac, R.S., Sakthivel, G., dan , Murthy, C., 2013, Green Synthesis and Characterization of Silver Nanoparticles Using Banana Peel Extract and Their Antimicrobial Activity Againts Representavi Microorganisme, *Journal of Radiation Reasearch and Applied Sciences*, **8**: 265-275.

Junejo, M., Baykal, A., dan Soseri, H., 2013, Simple Hydrothermal Synthesis Of Fe₃O₄ PEG Nanocomposit, *Cent. Eur. J. Chem.*, **11**(9): 1527-1532

Kumar, A., 2014, *Fabrication And Extraction Of Silver Nanoparticle Using Bacillus Thuringiensis*, National Institute Of Life Science, India.

Kumar, V., Yadav, S. K., 2009, Plantmediated synthesis of silver and gold nanoparticles and their application, *J. Chem. Technol. Biotechnol.*, **84**: 151-157.

Khan, A.U., Wei, Y., Khan, Z.U.H., Tahir, K., Khan, S.U., Ahmad, A., Khan, F.U., Cheng, L., dan Yuan, Q., 2015, Electrochemical and Antioxidant Properties of Biogenic Silver Nanoparticles, *Int. J. Electrochem. Sci.*, **10**: S7905 - 7916

Khatoon, N., Mazumder, J.A., dan Sardar, M., 2017, Biotechnological Applications of Green Synthesized Silver Nanoparticles, *Journal of Nanosciences: Current Research*, **2**(1): 3-8.

Keat, C.L., Aziz, A., Eid, A.M., dan Elmarzugi, N.A., 2015, Biosynthesis of Nanoparticles and Silver Nanoparticles, *Bioresour. Bioprocess*, **2**(47): 2-11.

Keshari, A.K., Srivastava, R., Singh, P., Yadav, V.B., dan Nath, G., 2018, Antioxidant and antibacterial activity of silver nanoparticles synthesized by Cestrum nocturnum, *Journal of Ayurveda and Integrative Medicine*, 1-8.

Logeswari, P., Silambarasan, S., dan Abraham, J., 2013, Ecofriendly synthesis of silver nanoparticles from commercially available plant powders and their antibacterial properties, *Scientia Iranica*, **20**(3): 1049-1054.



., Maming, Taba, P., 2016, *Sintesis Nanopartikel Emas Dengan Metode Reduksi Menggunakan Bioreduktor Buah Merah (Pandanus Conoideus)*, Skripsi Tidak Diterbitkan, Jurusan Kimia, Fakultas Matematika dan Ilmu Pengetahuan Alam, Universitas Hasanuddin, Makassar.

Listaty, H., Teruna, H.Y., dan Jasril, Uji Aktivitas antibakteri dan toksisitas ekstrak n-heksana daging biji kluwak, *Jurnal Repository University Of Riau*, 1-7.

Leela,A., Vivekananda, M., 2008, Tapping The Unexploited Plant Resources For The Synthesis Of Silver Nanoparticles, *Afr.J.Biotechnol*, **7**(17):3162-3165.

Matutu, J.M., Maming, Taba,P., 2016, *Sintesis Nanopartikel Perak Dengan Metode Reduksi Menggunakan Buah Merah (Pandanus Conoideus) Sebagai Bioreduktor*, Skripsi Diterbitkan, Jurusan Kimia, Fakultas Matematika dan Ilmu Pengetahuan Alam, Universitas Hasanuddin, Makassar.

Maulidiyah, A.N., 2017, *Sintesis dan Karakterisasi Nanozeolit Y dari Abu Sekam Padi dengan Variasi Suhu Hidrotermal*, Skripsi Tidak Diterbitkan, Jurusan Kimia, Fakultas Sains dan Teknologi, Universitas Islam Malang, Malang.

Mitiku,A.A., dan Yilma, B., 2017, Antibacterial And Antioxidant Activity Of Silver Nanoparticles Synthesized Using Aqueous Extract Of *Moringa Stenopetala* Leaves, *Afr. J. Biotechnol*,**16**(32): 1705-1716.

Marliyana, S.D., Kusumaningsih, T., dan Kristinawati, H., 2006, Penentuan Kadar Total Fenol dan Aktivitas Antioksidan Ekstrak Kulit Biji Ketapang (*Terminalia catappa L.*), *Jurnal Alchemy*, **5** (1), 39-44.

Molyneux, P., 2004, The Use of the Stable Free Radical Dyhetylpicrylhydrazil (DPPH) for Estimating Antioxidant Activity, *Journals Science and Technology*, **26**: 211-219.

Masakke, Y., Sulfikar, dan Rasyid, M., 2015, Biosintesis partikel nano perak menggunkana ekstrak methanol daun manggis (*Garcinia mangostana L.*), *Jurnal, Sainsmat*, **4**(1):28-41.

Nagarajan, R., dan Hatton, T.A., 2008, *Nanoparticles Synthesis Stabilization Passivation and Functionalization*, Am. Chem. SOC, Oxford University Press, London.

Niche, D., Ahmad, A., dan Ferial, E.W., 2017, *Isolasi Dan Identifikasi Protein Bioaktif Dari Kerang Darah (Anadara Granosa L.) Sebagai Antioksidan*, Skripsi Tidak Diterbitkan, Departemen Kimia, FMIPA, Universitas Hasanuddin, Makassar.

Abd, W., Dan Abd, K., 2018, *Sintesis Nanopartikel Perak Menggunakan Bioreduktor Ekstrak Daun Kersen (Muntingia Calabura L.) Dan*



Potensinya Sebagai Nanosensor Gula Darah, Skripsi Tidak Diterbitkan , Departemen Kimia, FMIPA, Universitas Hasanuddin, Makassar.

Pal, S.L., Jana, U., Manna, P.K., Mohanta, P.K., dan Manavalan, R., 2011, Nanoparticle: An overview of preparation and characterization, *Journal of Applied Pharmaceutical Science*, **01**(06): 228-234.

Paramasivam, G., Kannan, R., Paulraj, S.M, Subbiah, S., dan Pandiarajan, J., 2017, Antimicrobial, Antioxidant And Anticancer Activity Of Silver Nanoparticles Synthesized From Boerhaavia Diffusa Linn, *European Journal Of Pharmaceutical And Medical Research*, **4**(11): 323-331.

Payapo, I.A., Zakir, m., dan Soekamto,N.,H, 2016, *Sintesis Nanopartikel Perak Menggunakan Bioreduktor Ekstrak Daun Ketapang (Terminalia Catappa) dan Potensinya Sebagai Tabir Surya*, Skripsi Tidak Diterbitkan, Departemen Kimia, FMIPA, Universitas Hasanuddin, Makassar.

Patakfalvi, R., Viranyi, Z., dan Dekany, I., 2004, Kinetics of Silver Nanoparticle Growth in Aqueous Polymer Solutions, *Colloid Polym Sci*, 283: 299–305.

Poli, M.E., 2006, *Teknologi Masa Depan “Nanoteknologi”*, Departemen Pendidikan Nasional, Fakultas Teknik, Universitas Sam Ratulangi, Manado.

Poudel, M., Pokharel, R., Sudip K.C., Awal, S.C., dan Pradhananga, R., 2017, Biosynthesis of Silver Nanoparticles Using Ganoderma Lucidum and Assessment of Antioxidant and Antibacterial Activity, *Int. J. Appl. Sci. Biotechnol*, **5**(4): 523-531.

Panigrahi, T., 2013, *Synthesis And Characterization Of Silver Nanoparticles Using Leaf Extract Of Azadirachta Indica*, Thesis, Tidak Diterbitkan (Online), Jurusan Sains, Lembaga Nasionala Teknologi, India.

Pinta, Lolo, W.A., dan Yamlean P.V.Y., 2017, Identifikasi Kandungan Fitokimia Dan Uji Kadar Hambat Minimum Dan Kadar Bunuh Minimum Ekstrak Etanol Daun Pangi (*Pangium Edule Reinw Ex Blume*) Terhadap Pertumbuhan Bakteri *Escherichia Coli*, *Jurnal Ilmiah Farmasi*, **6**(3): 260-267.

, I., 2008, *Pemisahan Dan Pencirian Senyawa Aktif Daun Kepayang Dan Pengaruhnya Pada Mortalitas Ulat Kubis Instar III*, Skripsi Tidak Diterbitkan, Jurusan Kimia, FMIPA, Institut Pertanian Bogor, Bogor



Ronson, 2012, UV-Vis IR Spectroscopy Analysis of Nanoparticles, *NanoComposix*, **1**(1): 1-6.

Ristian, I., 2013, *Kajian Pengaruh Konsentrasi Perak Nitrat ($AgNO_3$) Terhadap Ukuran Nanopartikel Perak*, Skripsi Tidak Diterbitkan, jurusan kimia, FMIPA, Universitas Negeri Semarang, Semarang.

Rusman, 2002, *Penapisan Senyawa Insektisida dari Ekstrak Daun Picung (Pangium edule Reinw)*, Skripsi Tidak Diterbitkan, Fakultas Matematika dan Ilmu Pengetahuan Alam, Institut Pertanian Bogor, Bogor.

Rumengan, A.P., Dan Mantiri, D.A., 2015, Uji Aktivitas Antioksidan Ekstrak Alga *Dictyosphaeria Cavernosa* dari Perairan Teluk Manado, Jurnal LPPM Bidang Sains dan Teknologi, **2**(2): 71-77.

Tapa, F.L., Suryanto, E., dan Momuat, L.I., 2016, Biosintesis Nanopartikel Perak Menggunakan Ekstrak Empelur Batang Sagu Baruk (*Arenga Microcarpha*) dan Aktivitas Antioksidannya, *Chem. Prog.*, **9**(1): 9-15.

Shankar, S. S., Rai, A., Ahmad A., dan Sastry, M.. 2004, Rapid synthesis of Au, Ag, and bimetallic Au core–Ag shell nanoparticles using Neem (*Azadirachta indica*) leaf broth, *J. Colloid Interface Sci*, **275**(4): 496-502

Suyanto, P., 2012, *The Antioxidant Activity Of The Extract Of Pangium Edule Reinw. (Keluak) Seed In Cooked Ground Turkey*, Tesis Tidak Diterbitkan (Online), Pascasarjana Sains, University of Illinois, Urbana.

Sukaryo, 2016, Pengaruh Waktu Ekstraksi Dalam Pengambilan Tanin Dari Kluwek (*Pangium Edule Reinw*) Menggunakan Pelarut Etanol 70%, *Jurnal Neo Teknika*, **2**(2): 37-40.

Sibuea, F.S.Y., 2015, *Ekstraksi Tanin Dari Kluwak (Pangium Edule R.) Menggunakan Pelarut Etanol Dan Aquades Dan Aplikasinya Sebagai Pewarna Makanan*, Skripsi Tidak Diterbitkan, Teknik Kimia, Fakultas Teknik Universitas Negeri Semarang, Semarang.

Suwarda, R., dan Maarif, M.S., 2011, Pengembangan Inovasi Teknologi Nanopartikel Berbasis Pat Untuk Menciptakan Produk Yang Berdaya Saing, *Jurnal Teknik Industri*, 104-122.

Sari, R., dan Suhartati, Pangi (*Pangium Edule Reinw.*) Sebagai Tanaman Serbaguna Dan Sumber Pangan, *Info Teknis EBONI*, **12**(1): 23-37.

S.D., Bahadory, M., Jeyarajasingam, A.V., Rutkowsky, S.A., Boritz, C., dan Mulfinger, L., 2007, Synthesis And Study Of Silver Nanoparticles, *J.Chem. Educ*, **84**(2): 322-325.



Sulistianingsih, M., Jati, A.W.N., dan Zahida, F., 2016, *Uji Toksisitas Ekstrak Biji Kluwak (Pangium Edule Reinw.) Sebagai Moluskisida Keong Mas (Pomacea Canaliculata Lamarck, 1804.) Pada Tanaman Padi*, (Online), diakses pada tanggal 11 Maret 2018.

Taylor, J.L., Lynch, C., dan Dlugos, J.F., 2013, Particle Characterization of UV Blocking Sunscreens and Cosmetics using UV/ Visible Spectroscopy. *PerkinElmer*, 1-11.

Thomas, B., Prasad, A.A., dan Vithiya, S.M., Evaluation Of Antioxidant, Antibacterial And Photo Catalytic Effect Of Silver Nanoparticles From Methanolic Extract Of Coleus Vettiveroids – An Endemic Species, *Journal Nanostruct*, **8**(2): 179-190.

Tahir, I., Wijaya, K., dan Widianingsih, D., 2003, *Terapan Analisis Hansch untuk Aktivitas Antioksidan Senyawa Turunan Flavon/Flavonol*, Seminar on Chemometrics- Chemistry Dept Gadjah Mada University.

Utami, P., 2008, *Buku Pintar Tanaman Obat*, PT Agromedia Pustaka, Jakarta Selatan.

Wahyudin, T., Sugiyana, D., dan Helmy, Q., 2011, Sintesis Nanopartikel Perak Dan Uji Aktivitasnya Terhadap Bakteri *E. Coli* Dan *S. Aureus*, *Balai Besar Tekstil*, **21**(6): 55-60.

Winarsi, H., 2007, Antioksidan Alami dan Radikal Bebas, Penerbit Kanisius, Yogyakarta.

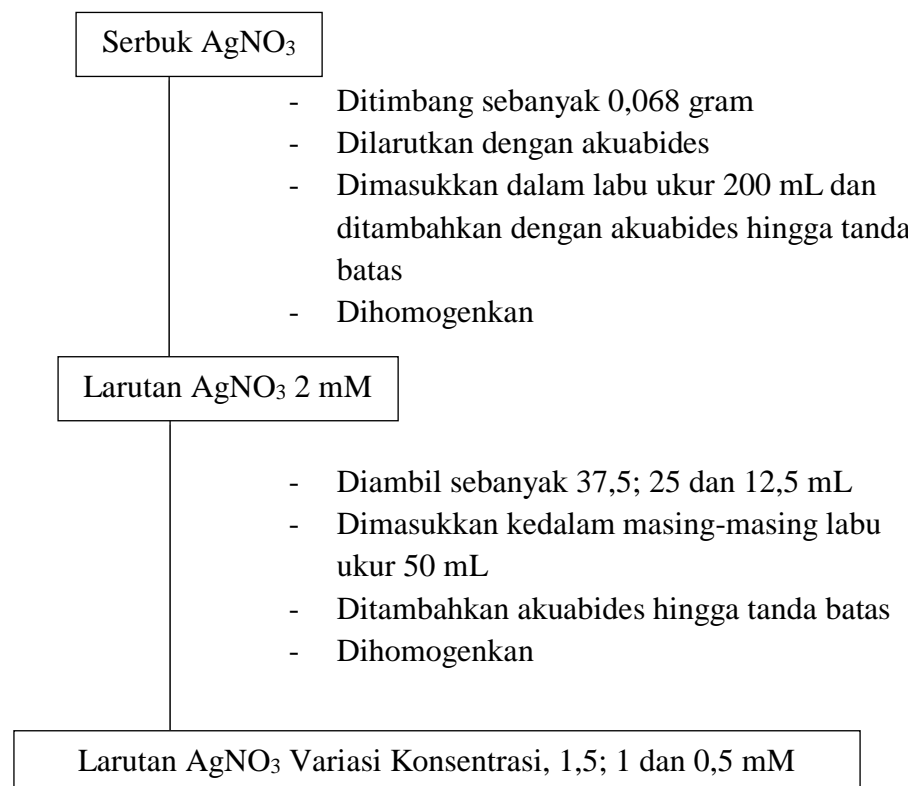
Wahdaningsih, S., Setyowati, E.P., dan Wahyuono, S., 2011, Aktivitas Penangkap Radikal Bebas Dari Batang Pakis (*Alsophila Glauca* J. Sm), *Majalah Obat Tradisional*, **16**(3): 156 – 160.

Wong, Y.W.H., Yuen, C.W.M., Leung, M.Y.S., Ku, S.K.A., and Liam, H.LI., 2006, Selected Application of Nanotechnology in Textile, *AUTEX Reasearch Journal*, **6**(1):1-8.

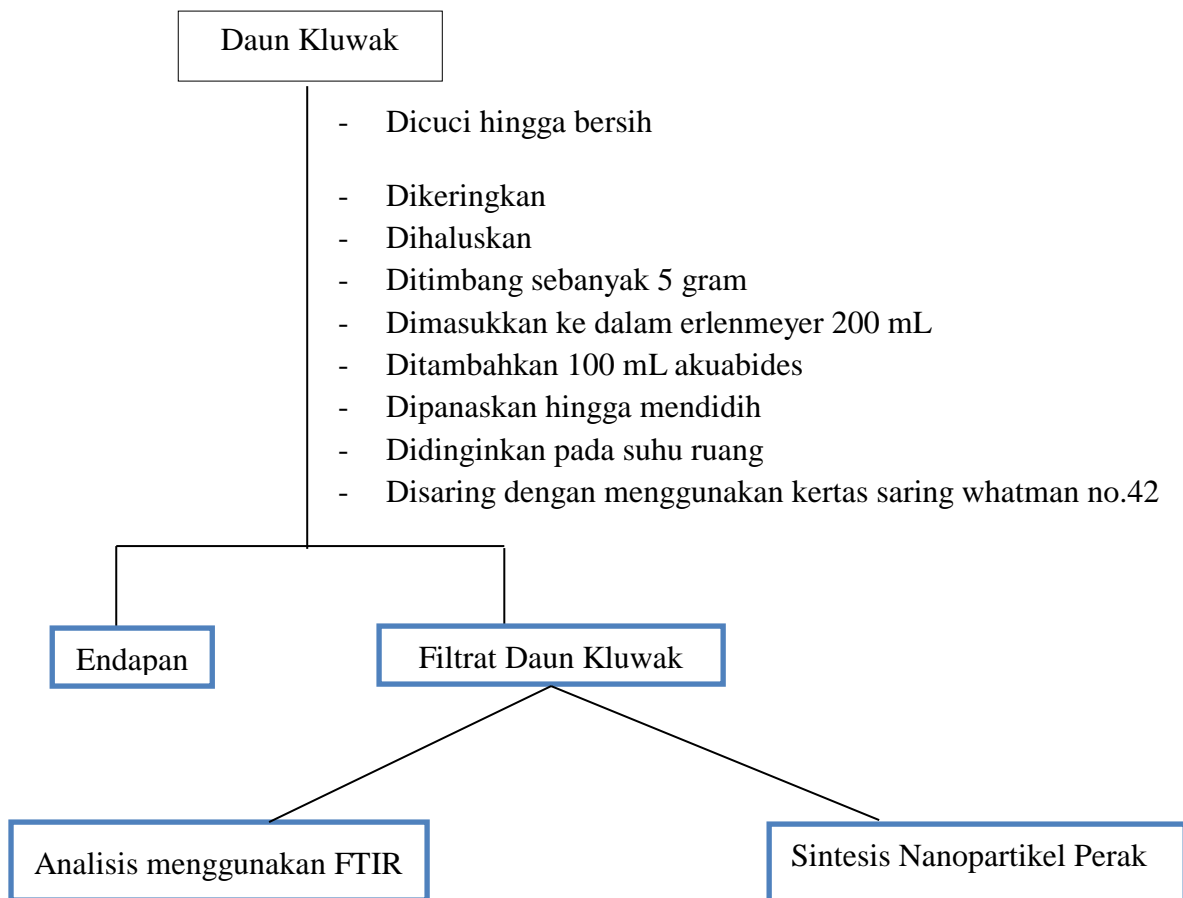


Lampiran 1. Bagan Kerja Penelitian

1. Pembuatan Larutan AgNO₃ Variasi Konsentrasi 2; 1,5; 1 dan 0,5 mM



2. Pembuatan Ekstrak Kulit Daun Kluwak



3. Optimasi variasi konsentrasi AgNO₃ Variasi Konsentrasi 2; 1,5; 1 dan 0,5 mM

Ekstrak daun kluwak

- Dipipet sebanyak 1 mL ke dalam empat erlenmeyer yang berbeda
- Ditambahkan larutan AgNO₃ dengan masing-masing konsentrasi 2 mM; 1,5 mM; 1 mm dan 0,5 mM ke dalam erlenmeyer yang berisi ekstrak daun kluwak sebanyak 40 mL
- Diaduk selama hingga berubah warna
- Diamati larutan campuran dari waktu ke 1, 2, 3, 4, 7, 8 dan 9 hari menggunakan spektrofotometer UV-Vis.

Ekstrak daun kluwak

4. Sintesis nanopartikel perak

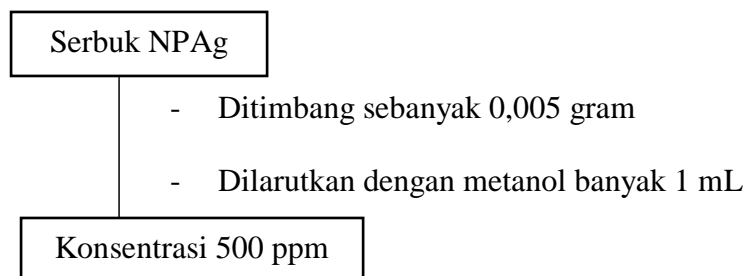
Ekstrak daun kluwak

- Dimasukkan ke dalam erlenmeyer 100 mL sebanyak 1 mL
- Ditambahkan larutan AgNO₃ konsentrasi 1,5 mM sebanyak 40 mL
- Larutan diaduk hingga berubah warna
- Campuran kemudian disentrifugasi pada 1000 rpm selama 20 menit lalu di keringkan dengan cara *freeze drying* kemudian dikarakterisasi dengan menggunakan PSA, SEM, XRD dan FTIR.

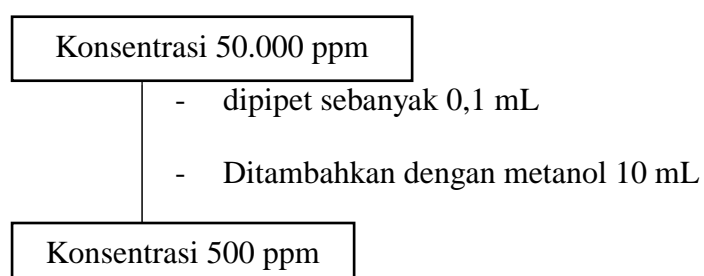
Data



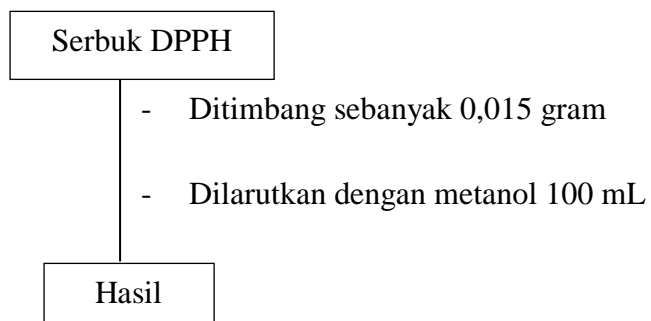
5. Pembuatan Larutan Induk Nanopartikel Perak 500 ppm



6. Pembuatan Larutan Induk Ekstrak Daun Kluwak 500 ppm



7. Pembuatan DPPH 0,4 Mm



Optimization Software:
www.balesio.com

8. Penentuan Aktivitas Antioksidan dengan Metode DPPH

Larutan induk 500 ppm NPAg dengan konsentasi 10 ppm; 20 ppm; 40 ppm; 80 ppm; dan 160 ppm

- Dipipet ke dalam masing-masing tabung reaksi sebesar 0,1 mL; 0,2 mL; 0,4 mL; 0,8 mL; dan 1,6 mL
- Ditambahkan DPPH 0,4 mM sebanyak 1 mL
- Volume dicukupkan sampai 5 mL dengan menggunakan

metanol

Deret NPAg

Larutan DPPH

- Dipipet sebanyak 1 mL
- Volume dicukupkan sampai 5 mL dengan menggunakan metanol.

Kontrol

Deret NPAg

Kontrol

- Kemudian diinkubasikan pada suhu ruang selama 30 menit di ruang gelap
- Serapannya diukur pada panjang gelombang maksimum 515 (λ_{max})

Data



Larutan blanko yang digunakan 5 mL metanol dan perlakuan yang sama terhadap asam askorbat sebagai kontrol positif dan ekstrak daun

Lampiran 2. Perhitungan

1. Perhitungan Ukuran Partikel

Persamaan Debye-Scherer

$$D = \frac{K\lambda}{\beta \cos\theta}$$

Keterangan:

D = Ukuran partikel (nm)

K = Faktor bentuk dari kristal (0,98)

λ = Panjang gelombang dari sinar X (1,54178 Å)

β = Nilai FWHM (rad)

θ = Sudut Bragg/sudut difraksi ($2\theta/2$)

Perhitungan Diameter Nanopartikel Perak

Dik: $2\theta = 37,8241$

$$\Theta = \frac{37,8241}{2} = 18,8205$$

FWHM = 0,1745

Dit: D=.....?

Penye: $D = K\lambda/\beta \cos(\theta)$

$$D = \frac{(0,98) \times (0,154178)}{\left(\frac{3,14}{180} \times 0,1745\right) \times \cos(18,8205)}$$
$$= \frac{0,151094}{0,003044 \times 0,946017}$$



= 52,46 nm

Dik: $2\Theta = 44,0621$

$$\Theta = \frac{44,0621}{2} = 22,03105$$

FWHM = 0,1769

Dit: D =.....?

Penye: $D = K\lambda / \beta \cdot \cos(\theta)$

$$D = \frac{(0,98) \times (0,154178)}{\left(\frac{3,14}{180} \times 0,1769\right) \times \cos(22,03105)}$$
$$= \frac{0,151094}{0,003085 \times 0,926980}$$

= 52,81 nm

Dik: $2\Theta = 77,5417$

$$\Theta = \frac{77,5417}{2} = 38,77085$$

FWHM = 0,2261

Dit: D =.....?

Penye: $D = K\lambda / \beta \cdot \cos(\theta)$

$$D = \frac{(0,98) \times (0,154178)}{\left(\frac{3,14}{180} \times 0,2261\right) \times \cos(38,77085)}$$
$$= \frac{0,151094}{0,003944 \times 0,776956}$$



49,13 nm
64,4279

$$\Theta = \frac{64,4279}{2} = 32,21395$$

$$\text{FWHM} = 0,19410$$

Dit: D =.....?

Penye: D = Kλ/β.cos (θ)

$$D = \frac{(0,98) \times (0,154178)}{\left(\frac{3,14}{180} \times 0,19410\right) \times \cos(32,21395)}$$

$$= \frac{0,151094}{0,003385 \times 0,846063}$$

$$= 52,74 \text{ nm}$$

2. Peritungan Antioksidan

2.1 Pembuatan larutan induk Nanopartikel Perak 500 ppm dalam 10 mL

metanol

$$\text{ppm} = \frac{\text{mg}}{\text{L}}$$

$$500 = \frac{\text{mg}}{0,01}$$

$$\text{mg} = 500 \times 0,01$$

$$= 5 \text{ mg} = 0,005 \text{ gram}$$

2.2 Pembuatan larutan induk ekstrak Daun Kluwak 50.000 ppm dalam 100 mL akuabides

$$\text{ppm} = \frac{\text{mg}}{\frac{\text{L}}{\text{mg}}}$$

$$= \frac{5.000 \text{ mg}}{0,1} = 50.000 \text{ mg} = 5 \text{ gram}$$



2.3 Pembuatan larutan induk ekstrak Daun Kluwak 500 ppm 10 mL metanol

$$C_1 \times V_1 = C_2 \times V_2$$

$$50.000 \times V_1 = 500 \times 10$$

$$V_1 = \frac{5.000}{50.000}$$

$$V_1 = 0,1 \text{ mL}$$

Volume metanol yang dibutuhkan = 10 mL - 0,1 mL = 9,9 mL

3. Perhitungan larutan deret standar nanopartikel perak dan ekstrak daun kluwak dari masing-masing 500 ppm

3.1 Pembuatan Larutan Konsentrasi 10 ppm

$$C_1 \times V_1 = C_2 \times V_2$$

$$500 \text{ ppm} \times V_1 = 10 \text{ ppm} \times 5 \text{ mL}$$

$$V_1 = \frac{10 \text{ ppm} \times 5 \text{ mL}}{500 \text{ ppm}}$$

$$V_1 = 0,1 \text{ mL}$$

Volume metanol yang dibutuhkan dalam 1 mL DPPH= 5 mL - (0,1 mL + 1 mL)= 3,9 mL

3.2 Pembuatan larutan konsentrasi 20 ppm

$$C_1 \times V_1 = C_2 \times V_2$$

$$500 \text{ ppm} \times V_1 = 20 \text{ ppm} \times 5 \text{ mL}$$

$$V_1 = \frac{20 \text{ ppm} \times 5 \text{ mL}}{500 \text{ ppm}}$$

$$V_1 = 0,2 \text{ mL}$$

Volume metanol yang dibutuhkan dalam 1 mL DPPH= 5 mL - (0,2 mL + 1 mL)= 3,8 mL

3.3 pembuatan larutan konsentrasi 40 ppm

$$C_1 \times V_1 = C_2 \times V_2$$

$$500 \text{ ppm} \times V_1 = 40 \text{ ppm} \times 5 \text{ mL}$$

$$V_1 = \frac{40 \text{ ppm} \times 5 \text{ mL}}{500 \text{ ppm}}$$

$$V_1 = 0,4 \text{ mL}$$

Volume metanol yang dibutuhkan dalam 1 mL DPPH= 5 mL - (0,4 mL + 1 mL)= 3,6 mL

3.4 pembuatan larutan konsentrasi 80 ppm

$$C_1 \times V_1 = C_2 \times V_2$$

$$500 \text{ ppm} \times V_1 = 80 \text{ ppm} \times 5 \text{ mL}$$

$$V_1 = \frac{80 \text{ ppm} \times 5 \text{ mL}}{500 \text{ ppm}}$$

$$V_1 = 0,8 \text{ mL}$$

Volume metanol yang dibutuhkan dalam 1 mL DPPH= 5 mL - (0,8 mL + 1 mL)= 3,2 mL

3.5 pembuatan larutan konsentrasi 160 ppm

$$C_1 \times V_1 = C_2 \times V_2$$

$$500 \text{ ppm} \times V_1 = 160 \text{ ppm} \times 5 \text{ mL}$$

$$V_1 = \frac{160 \text{ ppm} \times 5 \text{ mL}}{500 \text{ ppm}}$$

$$V_1 = 1,6 \text{ mL}$$

Volume metanol yang dibutuhkan dalam 1 mL DPPH= 5 mL - (1,6 mL + 1 mL)= 2,4 mL

4. Pembuatan DPPH 0,4 mM

$$C = M / M_r$$



$$0,4 \times 0,1 \times 394,32$$

gram

Optimization Software:
www.balesio.com

5. Pembuatan Larutan Induk Asam Askorbat 500 ppm

$$\text{ppm} = \frac{\text{mg}}{\text{L}}$$

$$500 = \frac{\text{mg}}{0,01}$$

$$\text{mg} = 5 \text{ mg}$$

$$= 0,005 \text{ gram}$$

5.1 Pembuatan Larutan Asam Askorbat 5 ppm

$$C_1 \times V_1 = C_2 \times V_2$$

$$500 \times V_1 = 5 \times 10$$

$$V_1 = 0,1 \text{ mL}$$

Volume total yang dibutuhkan sebesar $0,1 \text{ mL} + 9,9 \text{ mL} = 10 \text{ mL}$

6. Perhitungan larutan deret standar Asam Askorbat dari masing-masing

500 ppm

6.1 Pembuatan Larutan Konsentrasi 0,5 ppm

$$C_1 \times V_1 = C_2 \times V_2$$

$$5 \times V_1 = 0,25 \times 5$$

$$V_1 = 0,25 \text{ mL}$$

Volume metanol yang dibutuhkan dalam 1 mL DPPH = $5 \text{ mL} - (1+0,25) = 3,75 \text{ mL}$

6.2 Pembuatan Larutan Konsentrasi 0,25 ppm

$$C_1 \times V_1 = C_2 \times V_2$$

$$5 \times V_1 = 0,5 \times 5$$

$$V_1 = 0,5 \text{ mL}$$

Volume metanol yang dibutuhkan dalam 1 mL DPPH = $5 \text{ mL} - (1+0,5) = 3,5 \text{ mL}$

6.3 Pembuatan Larutan Konsentrasi 1 ppm

$$C_1 \times V_1 = C_2 \times V_2$$

$$5 \times V_1 = 1 \times 5$$

$$V_1 = 1 \text{ mL}$$

Volume metanol yang dibutuhkan dalam 1 mL DPPH=5 mL - (1+1)=3 mL

6.4 Pembuatan Larutan Konsentrasi 2 ppm

$$C_1 \times V_1 = C_2 \times V_2$$

$$5 \times V_1 = 2 \times 5$$

$$V_1 = 2 \text{ mL}$$

Volume metanol yang dibutuhkan dalam 1 mL DPPH=5 mL - (1+2)=2 mL

6.5 Pembuatan Larutan Konsentrasi 4 ppm

$$C_1 \times V_1 = C_2 \times V_2$$

$$5 \times V_1 = 4 \times 5$$

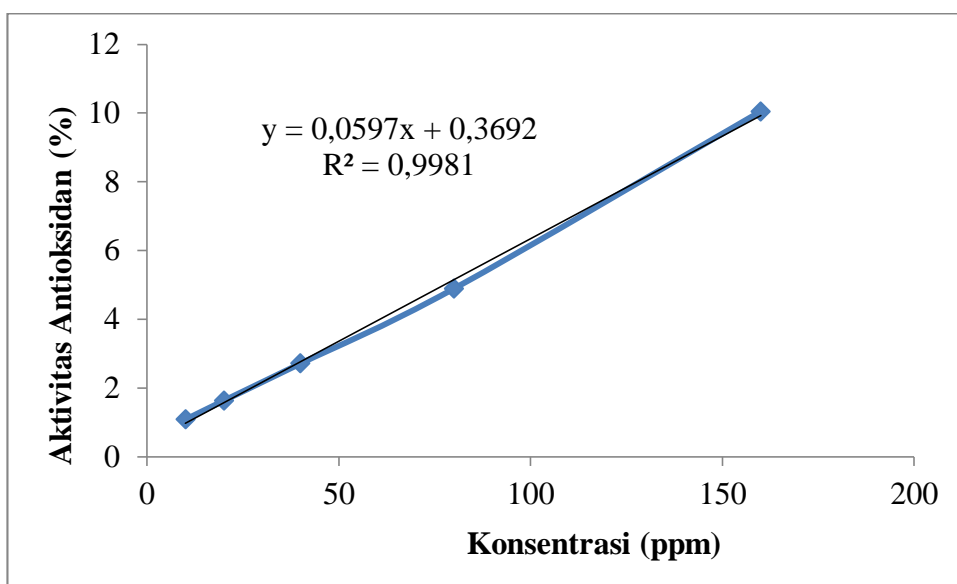
$$V_1 = 4 \text{ mL}$$

Volume metanol yang dibutuhkan dalam 1 mL DPPH=5 mL - (1+4)=0 mL



Lampiran 3. Kurva Pengukuran Aktivitas Antioksidan Ekstrak Daun Kluwak

No	Konsentrasi	Abrobansi sampel			Total	Kontrol	%inhibisi
		1	2	3			
1	10	0,365	0,365	0,364	0,364	0,368	1,08
2	20	0,363	0,363	0,362	0,362	0,368	1,63
3	40	0,358	0,358	0,358	0,358	0,368	2,71
4	80	0,350	0,350	0,350	0,350	0,368	4,89
5	160	0,332	0,330	0,332	0,331	0,368	10,05



$$\% \text{Aktivitas Antioksidan} = \frac{\text{Absorbansi Kontrol} - \text{Absorbansi Sampel}}{\text{Absorbansi Kontrol}} \times 100\%$$

1. Konsentrasi 10 ppm

$$\% \text{Inhibisi} = \frac{0,368 - 0,364}{0,368} \times 100\%$$

$$= 1,08 \%$$

2. Konsentrasi 20 ppm

$$i = \frac{0,368 - 0,362}{0,368} \times 100\%$$

$$= 1,63\%$$

3. Konsentrasi 40 ppm

$$\% \text{Inhibisi} = \frac{0,368-0,358}{0,368} \times 100\%$$

$$= 2,71\%$$

4. Konsentrasi 80 ppm

$$\% \text{Inhibisi} = \frac{0,368-0,350}{0,368} \times 100\%$$

$$= 4,89\%$$

5. Konsentrasi 160 ppm

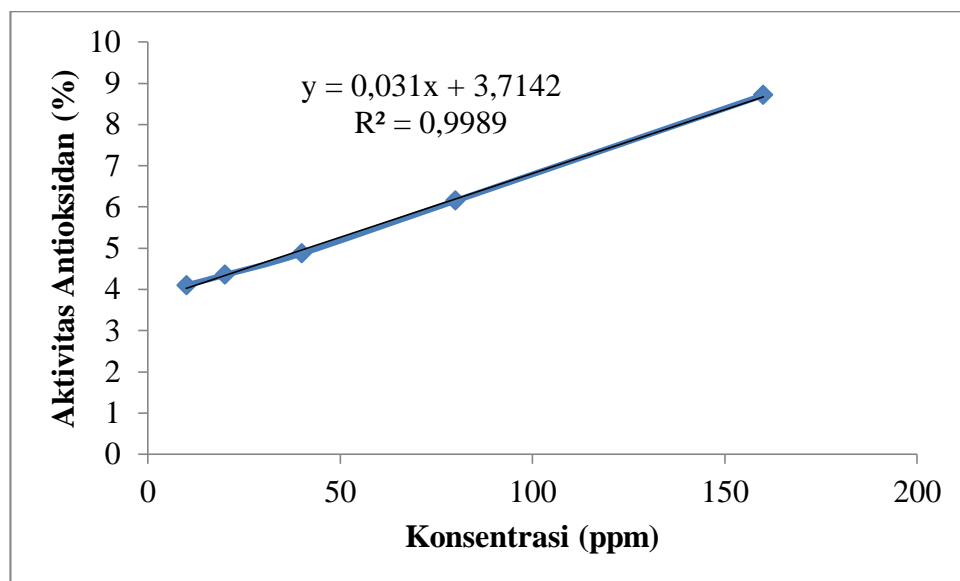
$$\% \text{Inhibisi} = \frac{0,368-0,0,331}{0,368} \times 100\%$$

$$= 10,05 \%$$



Lampiran 4. Kurva Pengukuran Aktivitas Antioksidan Nanopartikel Perak

No	Konsentrasi	Abrobansi sampel			Total	Kontrol	%inhibisi
		1	2	3			
1	10	0,375	0,374	0,375	0,374	0,390	4,10
2	20	0,374	0,373	0,373	0,373	0,390	4,35
3	40	0,371	0,370	0,372	0,371	0,390	4,87
4	80	0,366	0,366	0,366	0,366	0,390	6,15
5	160	0,357	0,357	0,356	0,356	0,390	8,71



$$\% \text{Aktivitas Antioksidan} = \frac{\text{Absorbansi Kontrol} - \text{Absorbansi Sampel}}{\text{Absorbansi Kontrol}} \times 100\%$$

1. Konsentrasi 10 ppm

$$\% \text{Inhibisi} = \frac{0,390 - 0,374}{0,390} \times 100\% \\ = 4,10\%$$

2. Konsentrasi 20 ppm

$$= \frac{0,390 - 0,374}{0,390} \times 100\% \\ = 4,35\%$$

3. Konsentrasi 40 ppm

$$\% \text{Inhibisi} = \frac{0,390-0,371}{0,390} \times 100\%$$

$$= 4,87\%$$

4. Konsentrasi 80 ppm

$$\% \text{Inhibisi} = \frac{0,390-0,366}{0,390} \times 100\%$$

$$= 6,15\%$$

5. Konsentrasi 160 ppm

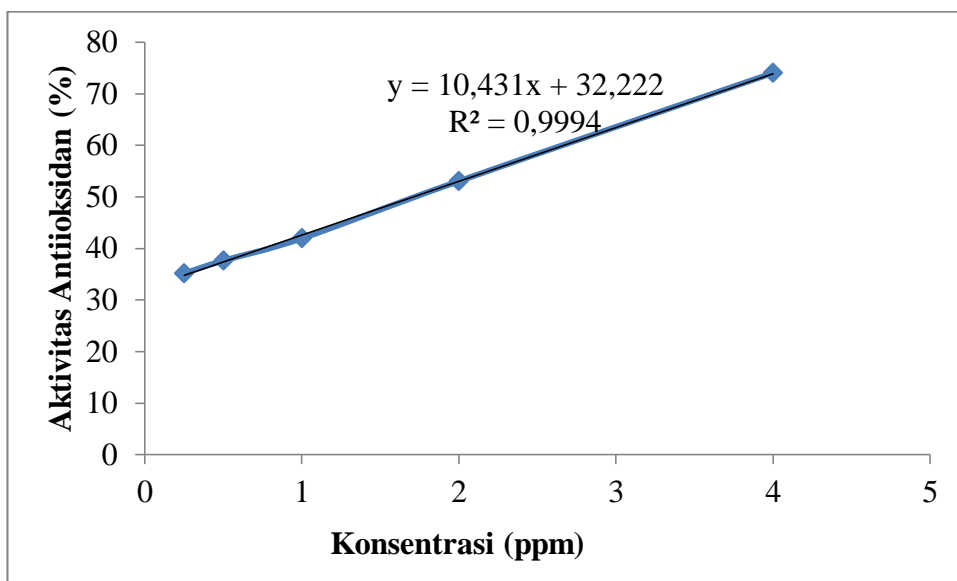
$$\% \text{Inhibisi} = \frac{0,390-0,356}{0,390} \times 100\%$$

$$= 8,71\%$$



Lampiran 5. Kurva Pengukuran Aktivitas Antioksidan Asam Askorbat

No	Konsentrasi	Abrobansi sampel			Total	Kontrol	%inhibisi
		1	2	3			
1	0,25	0,105	0,106	0,105	0,105	0,162	35,18
2	0,5	0,101	0,102	0,100	0,101	0,162	37,65
3	1	0,093	0,094	0,095	0,094	0,162	41,97
4	2	0,076	0,077	0,077	0,076	0,162	53,08
5	4	0,042	0,045	0,041	0,042	0,162	74,07



$$\% \text{Aktivitas Antioksidan} = \frac{\text{Absorbansi Kontrol} - \text{Absorbansi Sampel}}{\text{Absorbansi Kontrol}} \times 100\%$$

1. Konsentrasi 0,25 ppm

$$\% \text{Inhibisi} = \frac{0,162 - 0,105}{0,162} \times 100\%$$

Konsentrasi 0,5 ppm

$$\% \text{Inhibisi} = \frac{0,162 - 0,101}{0,162} \times 100\%$$

$$= 37,65\%$$



2. Konsentrasi 1 ppm

$$\% \text{Inhibisi} = \frac{0,162-0,094}{0,162} \times 100\%$$

$$= 41,97\%$$

3. Konsentrasi 2 ppm

$$\% \text{Inhibisi} = \frac{0,162-0,076}{0,162} \times 100\%$$

$$= 53,08\%$$

4. Konsentrasi 4 ppm

$$\% \text{Inhibisi} = \frac{0,162-0,042}{0,162} \times 100\%$$

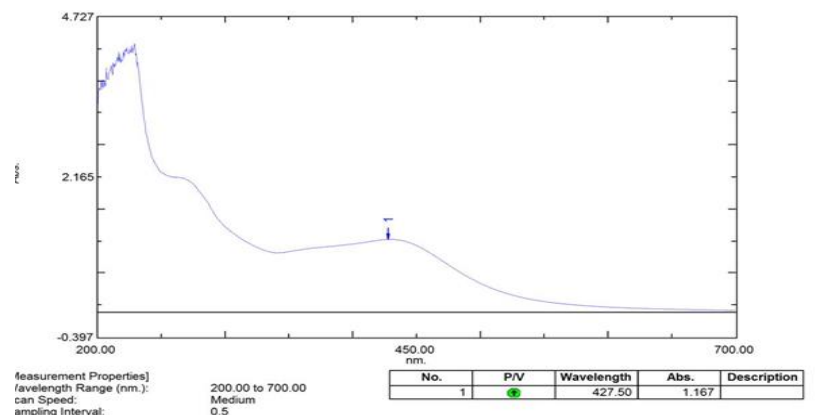
$$= 74,07\%$$



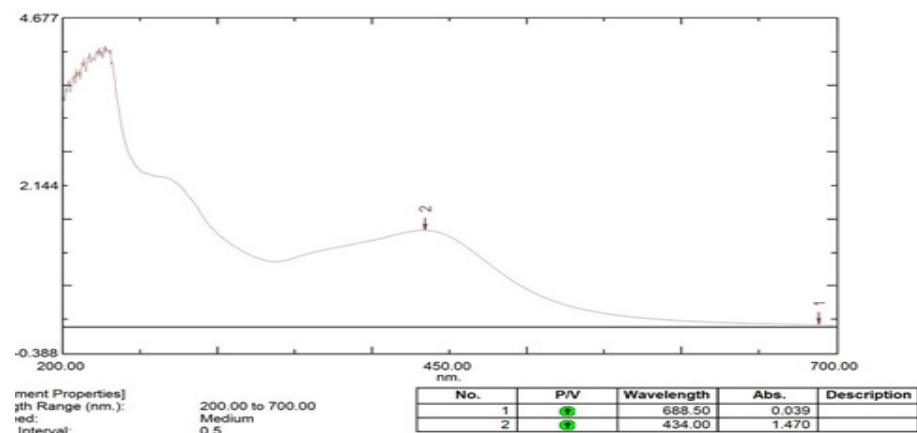
Lampiran 6. Data hasil Karakterisasi Nanopartikel Perak dengan menggunakan Spektrofotometer UV-Vis

1. Konsentrasi 2 Mm

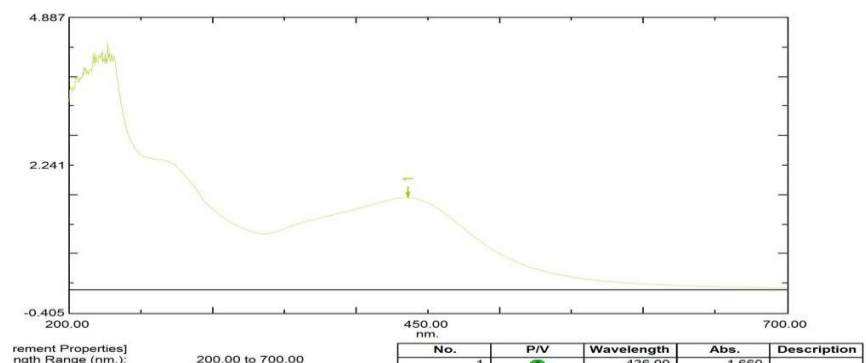
a. 1 hari



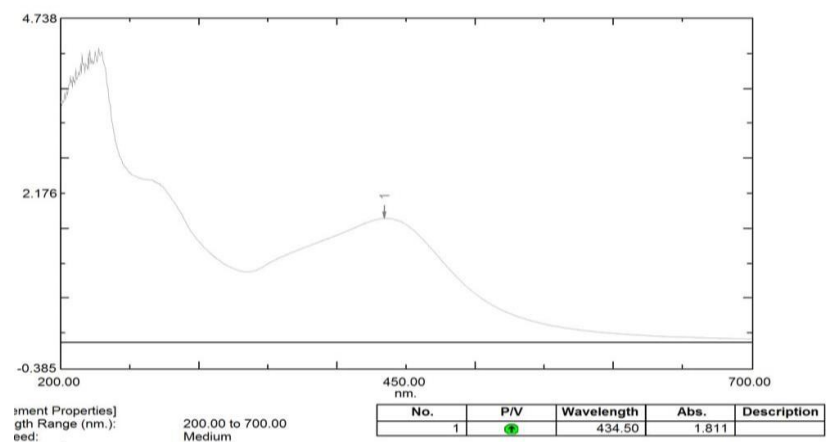
b. 2 hari



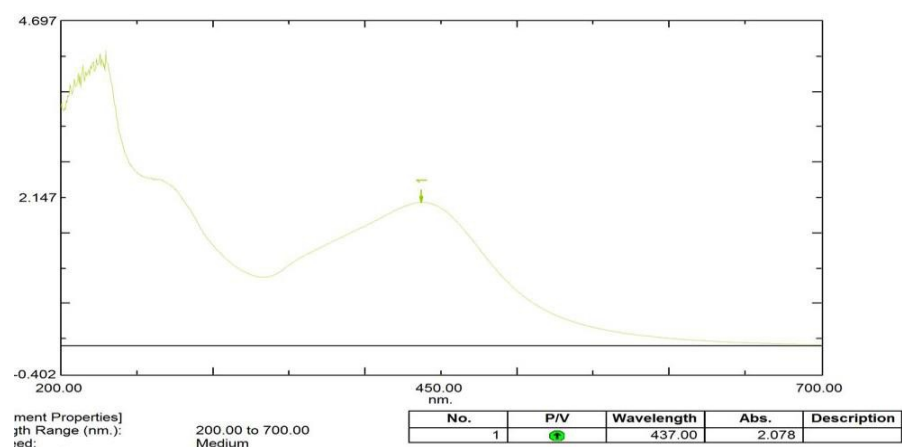
c. 3 hari



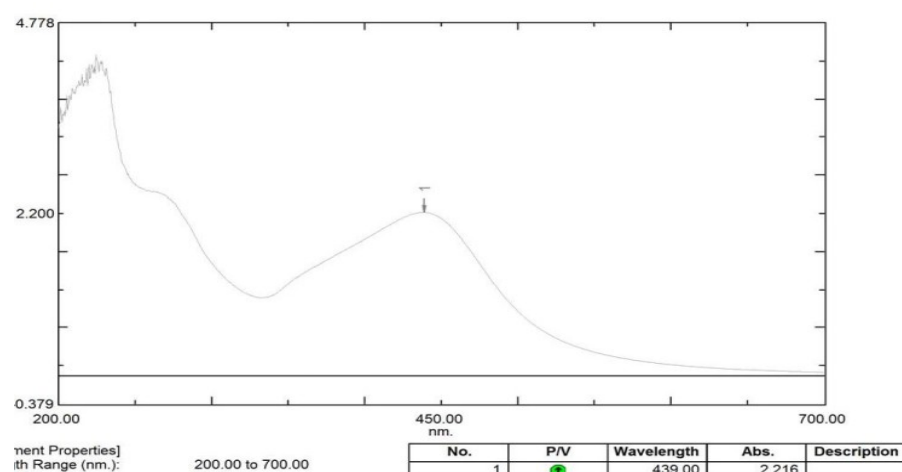
d. 4 hari



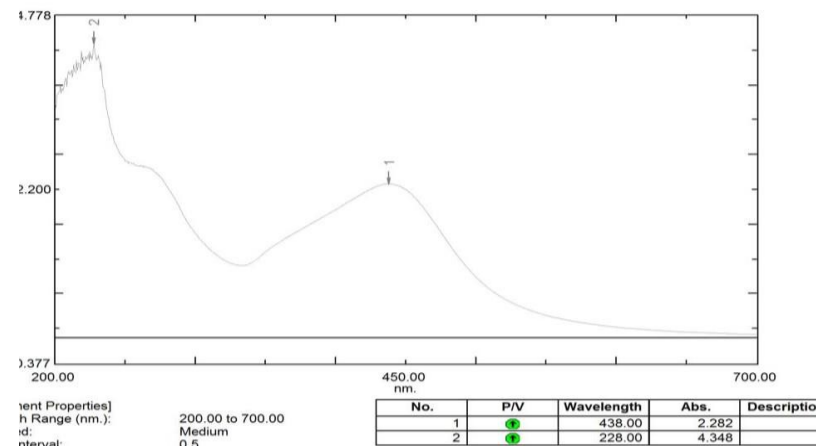
e. 7 Hari



f. 8 hari

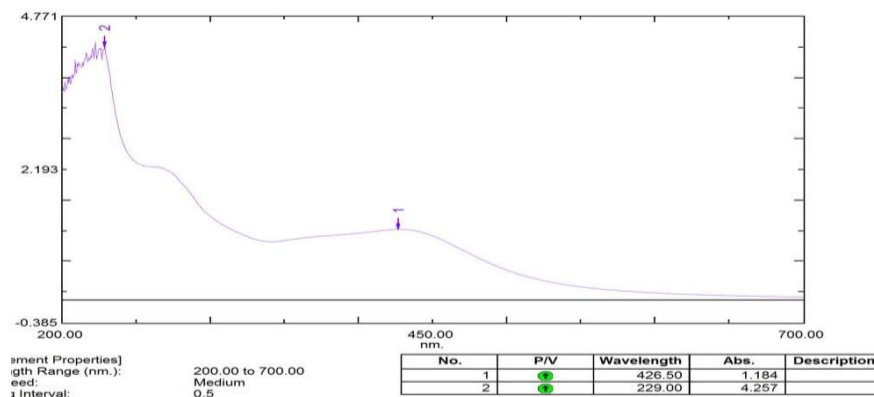


g. 9 Hari

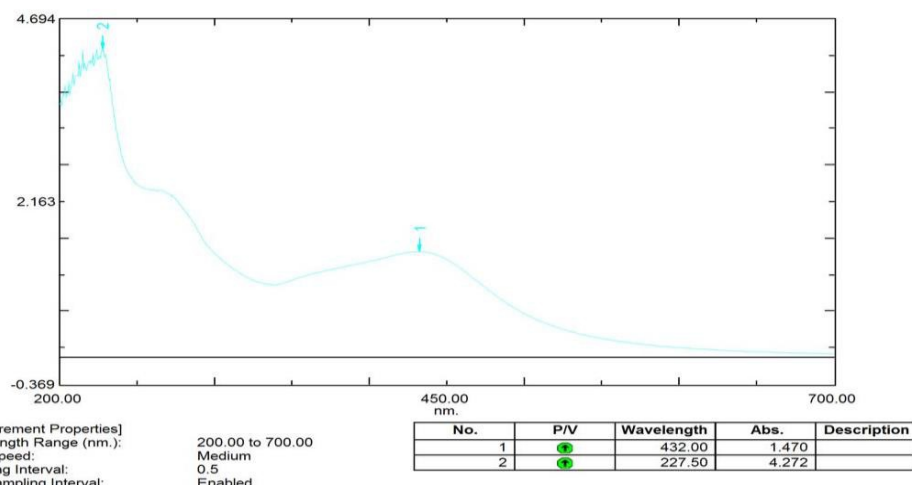


2. Konsentrasi 1,5 mM

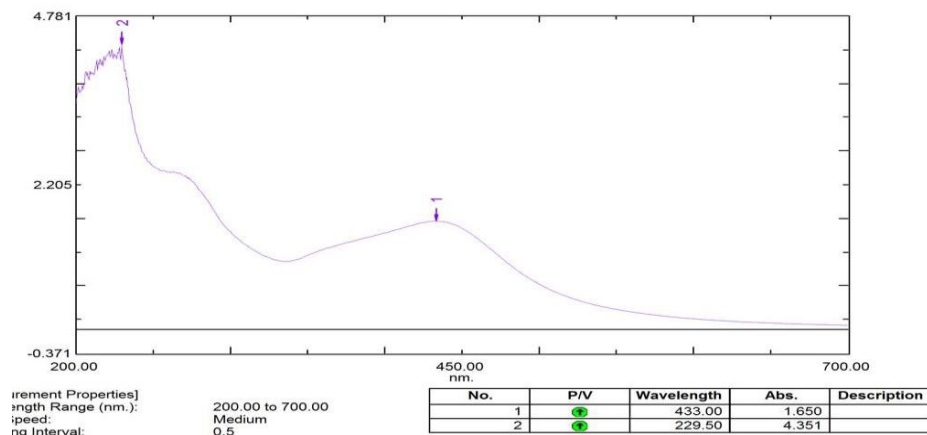
a. 1 hari



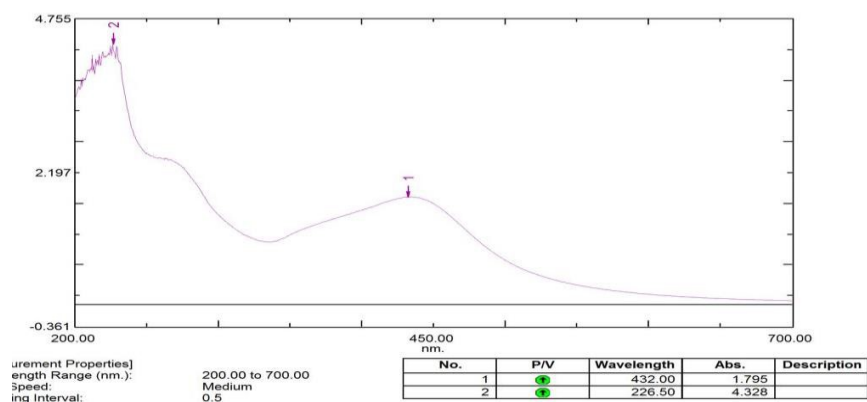
b. 2 hari



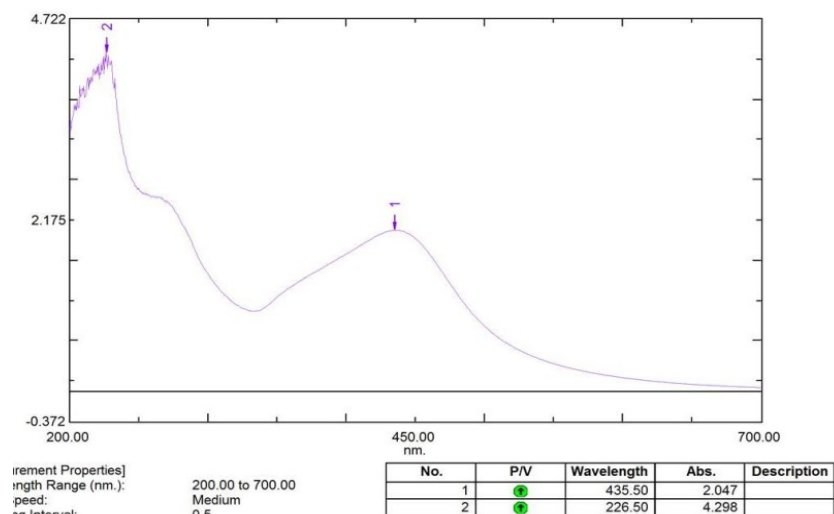
c. 3 hari



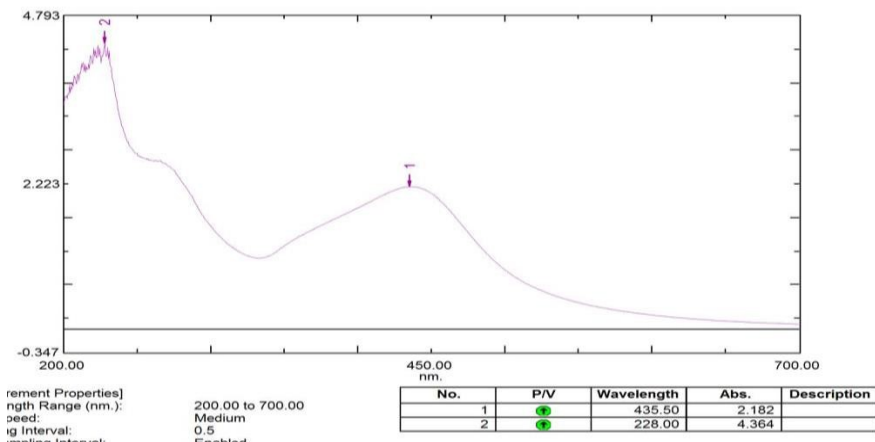
d. 4 hari



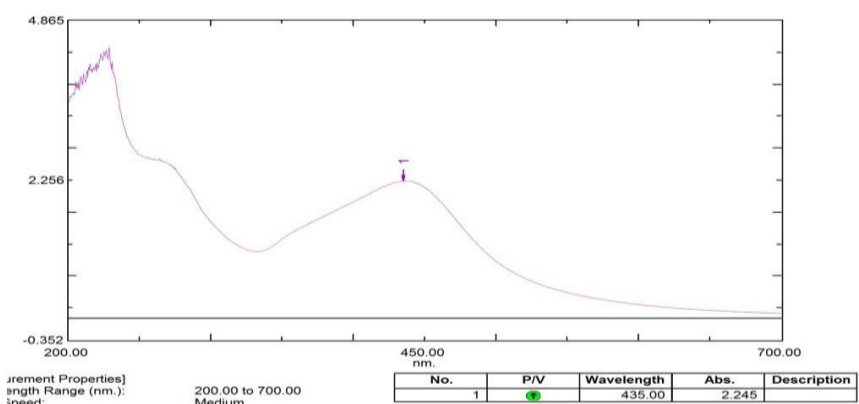
e. 7 hari



f. 8 hari

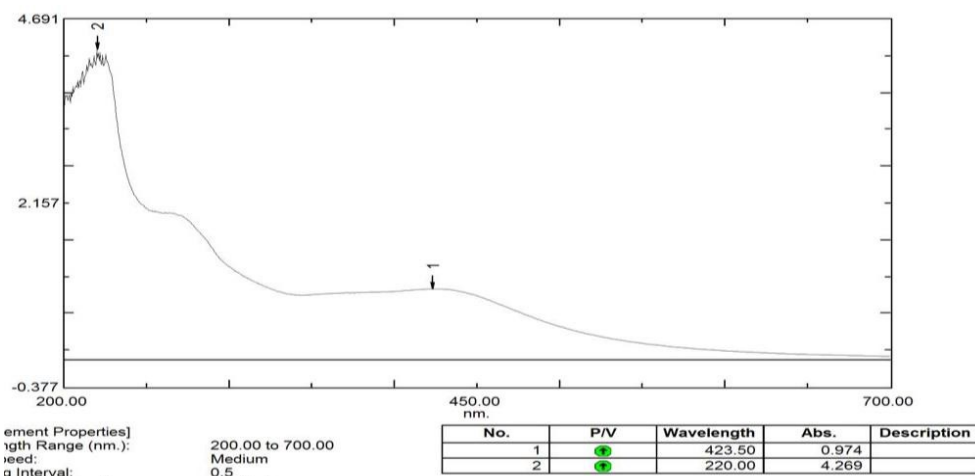


g. 9 hari

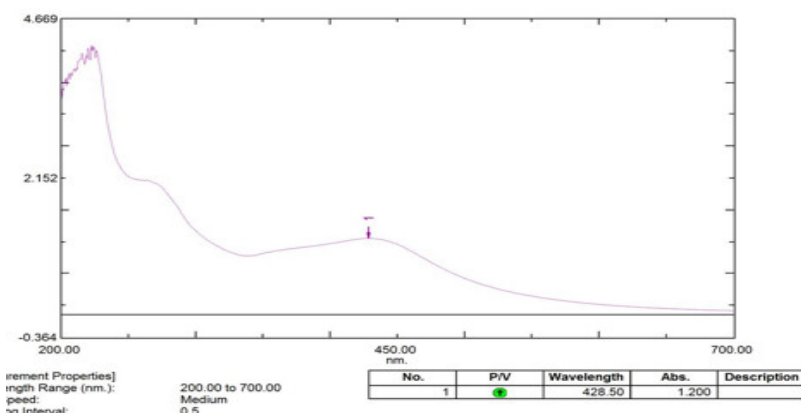


3. Konsentrasi 1 mM

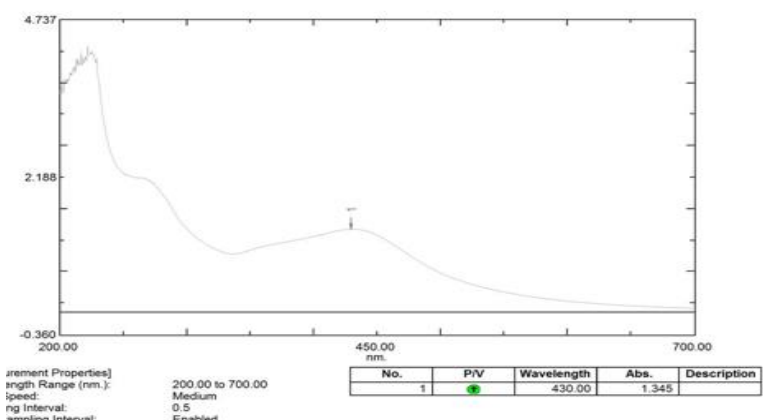
a. 1 hari



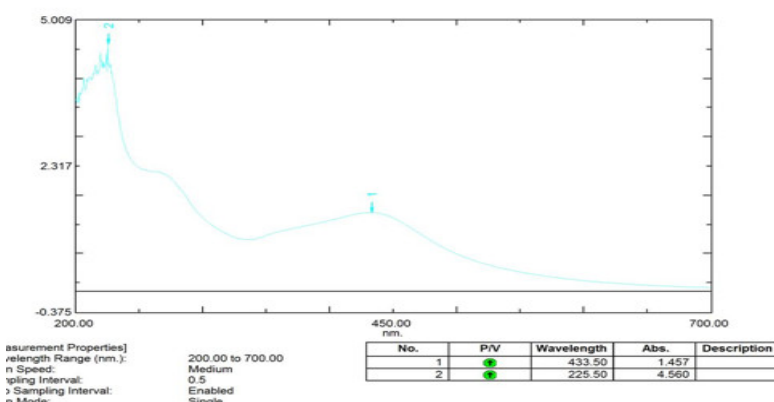
b. 2 hari



c. 3 hari



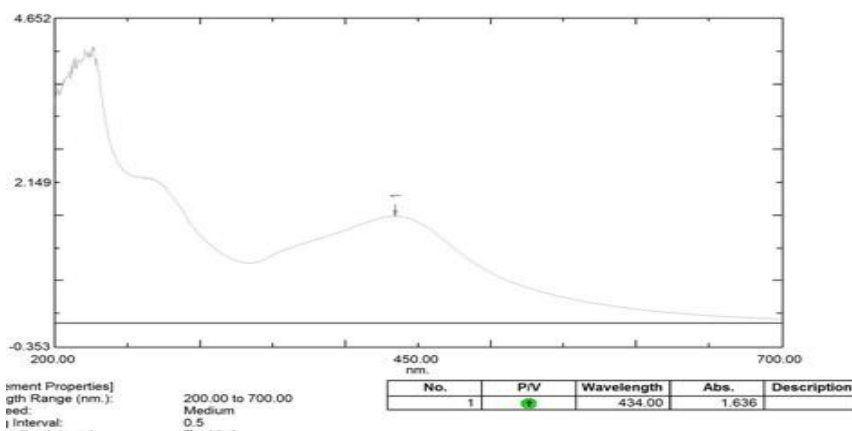
d. 4 hari



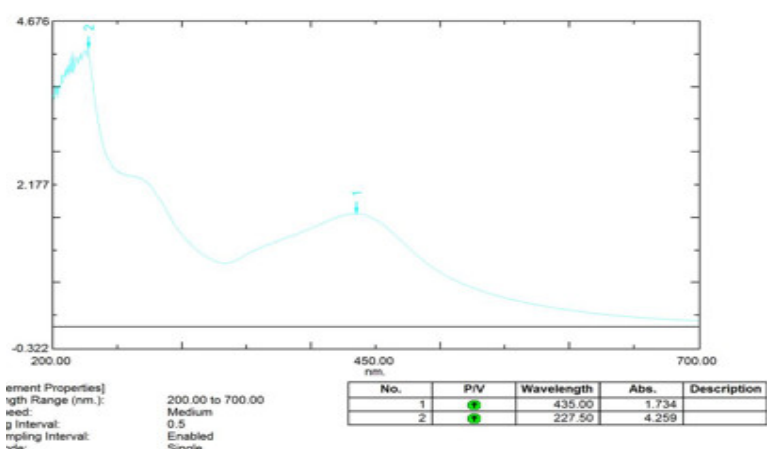
hari



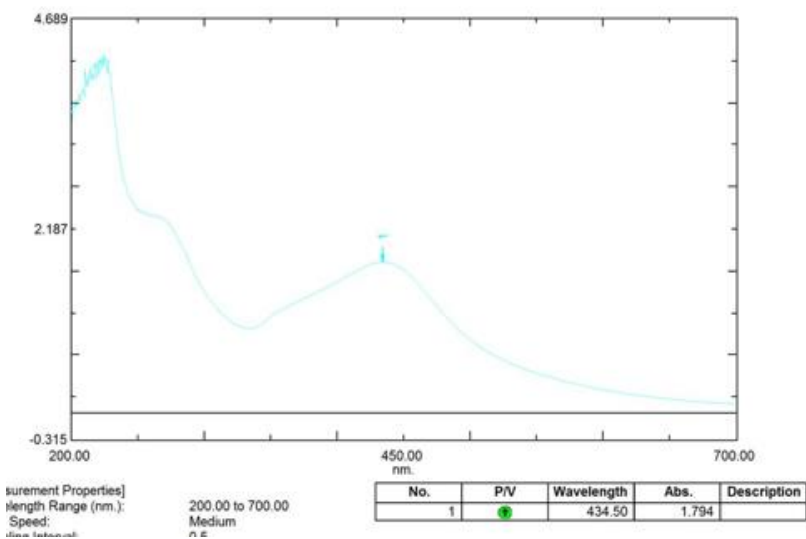
Optimization Software:
www.balesio.com



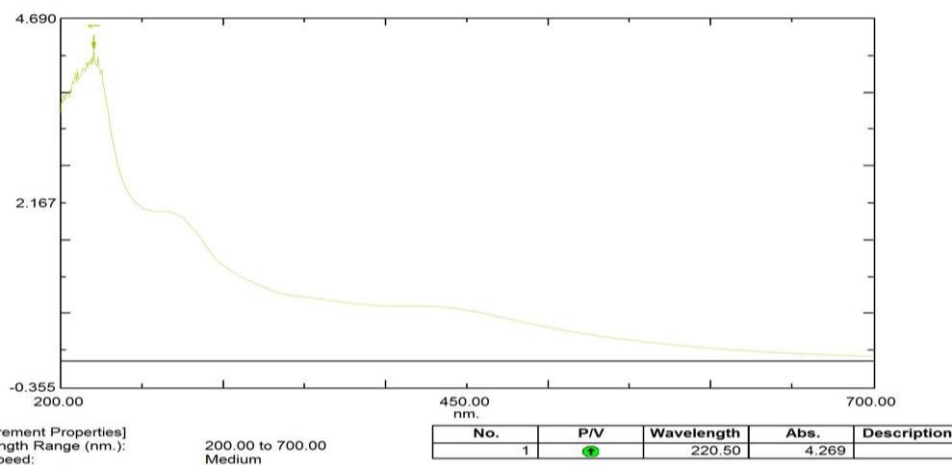
f. 8 hari



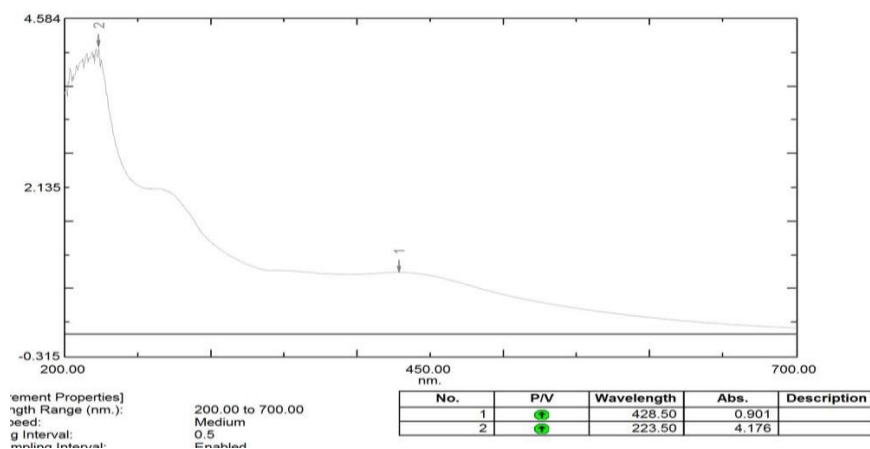
g. 9 hari



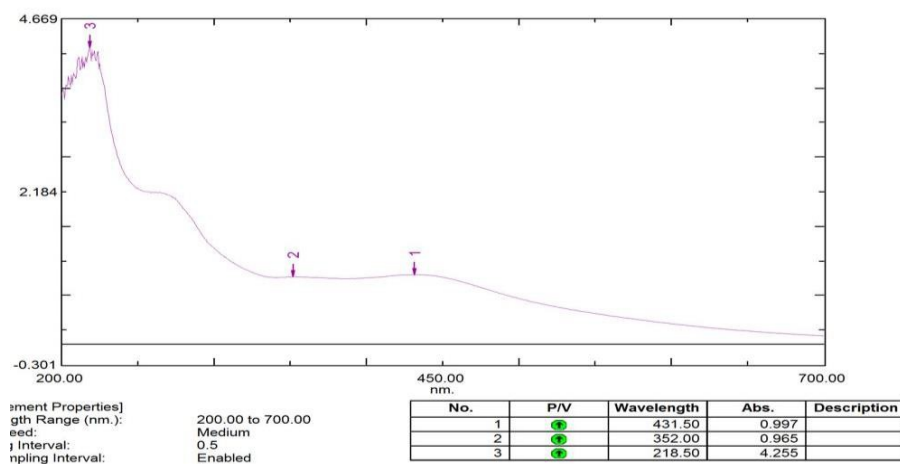
onentrasi 0,5 mM
hari



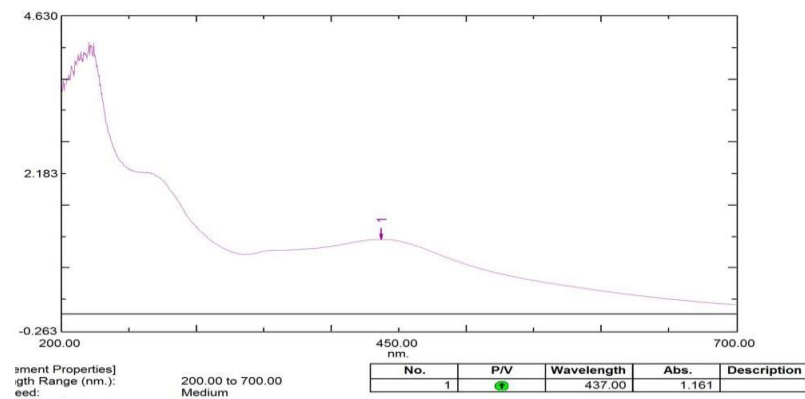
b. 2 hari



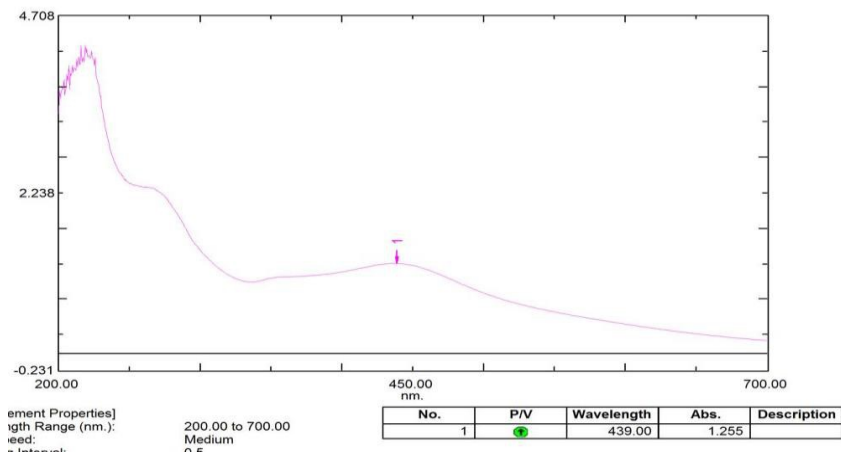
c. 3 hari



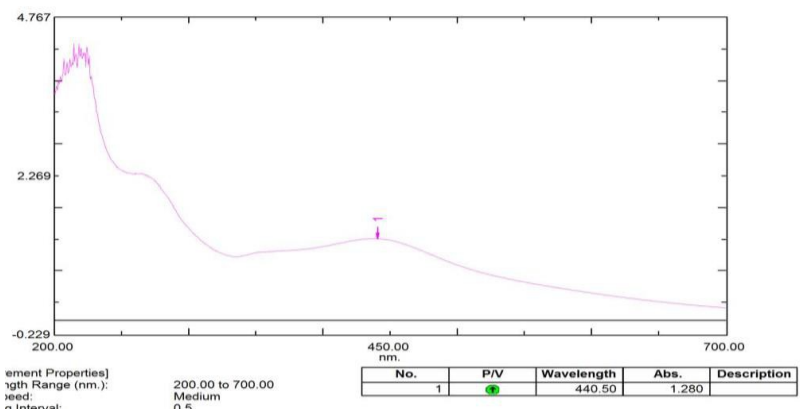
e. 7 hari



f. 8 hari



hari



Optimization Software:
www.balesio.com

Lampiran 7. Tabel λ_{maks} dan Absorbansi Nanopartikel Perak

1. Konsentasi AgNO₃ 2 mM

Waktu kontak (Hari)	λ_{maks} (nm)	absorbansi
1	427,50	1,167
2	434	1,470
3	436	1,660
4	434,50	1,811
7	437,50	2,078
8	439	2,219
9	438	2,282

2. Konsentasi AgNO₃ 1,5 mM

Waktu kontak (Hari)	λ_{maks} (nm)	absorbansi
1	426,50	1,187
2	432	1,470
3	433	1,650
4	432	1,765
7	435,50	2,047
8	435,50	2,182
9	435	2,245

3. Konsentasi AgNO₃ 1 mM

Waktu kontak (Hari)	λ_{maks} (nm)	absorbansi
1	423,50	0,974
2	428,50	1,200
3	430	1,345
4	433	1,457
7	434	1,636
8	435	1,734
9	434,50	1,794



4. Konsentasi AgNO₃ 0,5 mM

Waktu kontak (Hari)	λ maks (nm)	absorbansi
1	-	-
2	428	0,901
3	431	0,997
4	433	1,073
7	437	1,161
8	439	1,255
9	440	1,280



Lampiran 8. Hasil Pengukuran Nanopartikel Perak dengan Menggunakan *Particle size analyzer* (PSA)

Delsa™ Nano

Common



Condition Summary

S/N

: 123909

User : Common	Group :	Repetition : 1/1
Date : 9/13/2018	File Name : NP-Ag A_20180913_140334	
Time : 14:03:34	Sample Information :	
SOP Name : Sampel Uji PSA		Security : No Security

Version 2.31 / 2.03

Measurement Condition

Sampling Time	: N/A	(μ s)		
Correlation Channel	: 440	(ch)	Correlation Method	: TD
Accumulation times	: 30	(times)	Attenuator 1	: 47.16 (%)
Cell Center	Z : 3.000	(mm)		
	X : 7.500	(mm)	Pinhole	: 50 (μ m)
Scattering Angle	: 165.0	($^{\circ}$)	Temperature	: 25.0 ($^{\circ}$ C)
Diluent Name	: WATER			
Refractive Index	: 1.3328		Viscosity	: 0.8878 (cP)
Intensity	: 11397		(cps)	

Cumulants Results

Mean Diameter	(d) : 93.2	(nm)	Diffusion Constant	(D) : 5.281e-008	(cm ² /sec)
Polydispersity Index	(P.I.) : 0.296		Decay Constant	(Γ) : 3342.7	(1/sec)

Fitting Parameter

Analysis Method : CONTIN



: 10.0 - 4000.0	(nm)	Cut	Left : 0	Right : 0
: 1.003 - 2				
: 0.3	(%)			
: 9.183e-003 [OK]				

Optimization Software:
www.balesio.com

Delsa™ Nano

Intensity Distribution

S/N : 123909

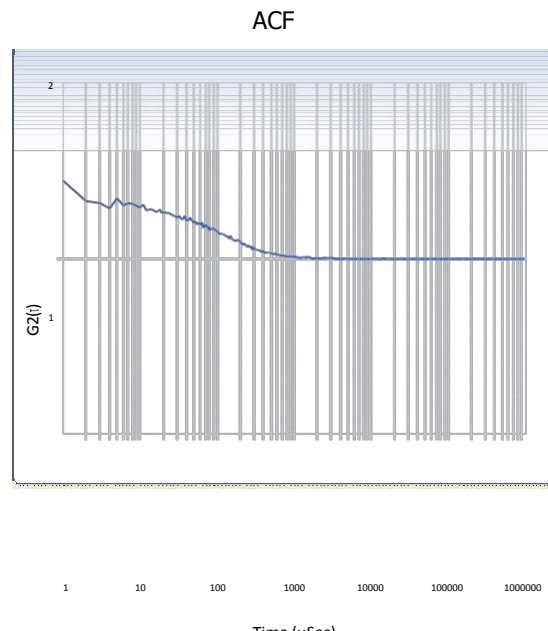
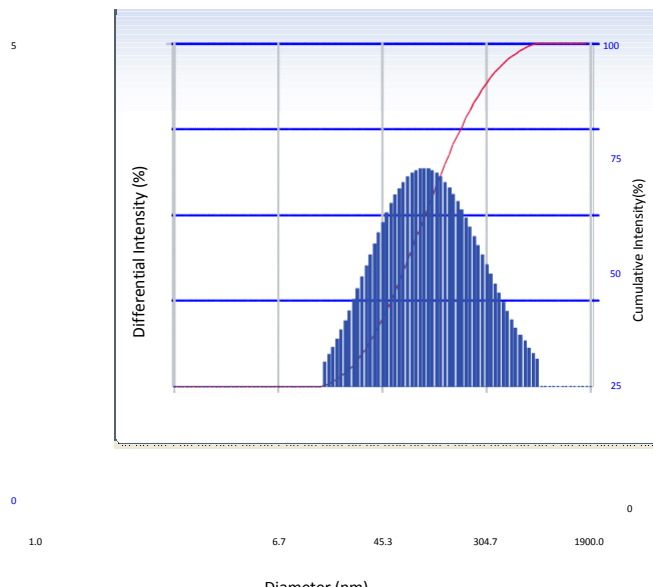
User : Common	Group :	Repetition : 1/1
Date : 9/13/2018	File Name : NP-Ag A_20180913_140334	
Time : 14:03:34	Sample Information :	

SOP Name : Sampel Uji PSA

Security : No Security

Version 2.31 / 2.03

Intensity Distribution



Distribution Results (Contin)

Diameter

Polydispersity Index (PD)	Diameter (nm)	Diffusion Coeff.	Std.Dev.
Measurement Condition 1	150.5	138.3	
2	0.0	0.0	
3	0.0	0.0	
4	0.0	0.0	
5	0.0	0.0	
Average	150.5	138.3	
Residual :	9.183e-003	(O.K)	

Cumulants Results

(d) : 93.2	(nm)
(D) : 5.281e-008	(nm)
Temperature : 25.0	(°C)
Diluent Name : WATER	
Refractive Index : 1.3328	
Viscosity : 0.8878	(cP)
Scattering Intensity : 11397	(cps)



Volume Distribution

S/N : 123909

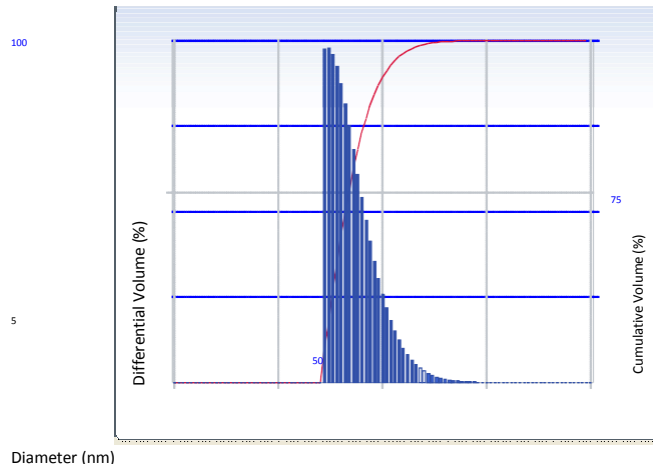
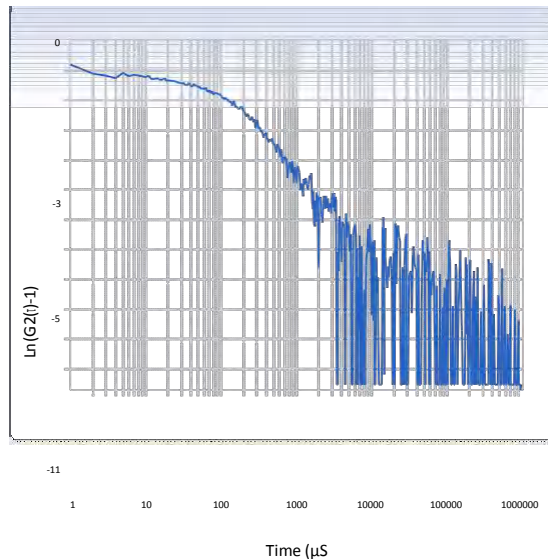
User : Common
 Date : 9/13/2018
 Time : 14:03:34

Group :
 File Name : NP-Ag A_20180913_140334
 Sample Information :

SOP Name : Sampel Uji PSA

Security : No Security

Version 2.31 / 2.03
 Volume Distribution

 $\ln(G_2(\tau)-1)$ vs τ 

Distribution Results (Contin)

Peak	Diameter (nm)	Std. Dev.
1	29.5	19.0
2	0.0	0.0
3	0.0	0.0
4	0.0	0.0
5	0.0	0.0
Average	29.5	19.0
Residual :	9.183e-003	(O.K.)

Cumulants Results

Diameter	Measurement Condition	(nm)
	Temperature : 25.0	(°C)
	Diluent Name : WATER	
	Refractive Index : 1.3328	$^2/\text{se}$
	Viscosity : 0.8878	(cP)
	Scattering Intensity : 11397	(cps)



Optimization Software:
www.balesio.com



Number Distribution

S/N

: 123909

User : Common Group : Repetition : 1/1

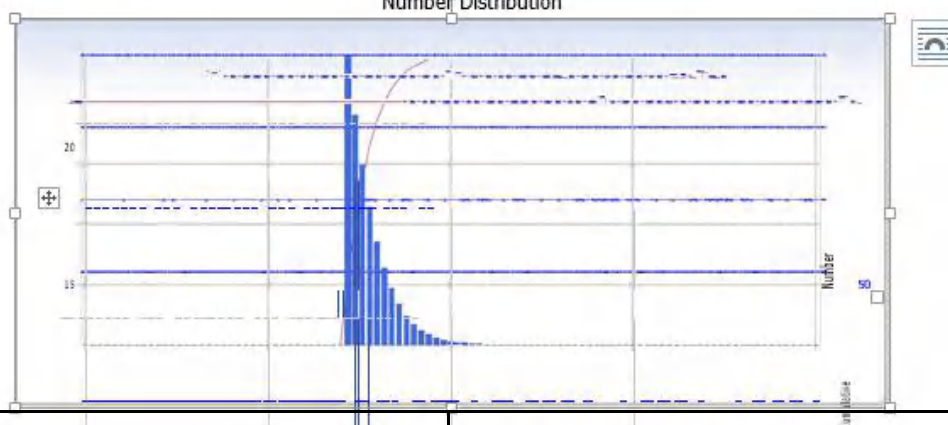
Date : 9/13/2018 File Name : NP-Ag A_20180913_140334

Time : 14:03:34 Sample Information :

SOP Name : Sampel Uji PSA Security : No Security

Version 2.31 / 2-03

Number Distribution



Distribution Results (Contin)

Cumulants Results

Peak	Diameter (nm)	Std. Dev.	Diameter (d) : 93.2 (nm)
1	19.8	5.6	Polydispersity Index (P.I.) : 0.296
2	0.0	0.0	Diffusion Const. (D) : 5.281e-008 (cm²/sec)
3	0.0	0.0	Measurement Condition
4	0.0	0.0	Temperature : 25.0 (°C)
5	0.0	0.0	Diluent Name : WATER
Average	19.8	5.6	Refractive Index : 1.3328
Residual : 9.183e-003	(O.K)		Viscosity : 0.8878 (cP)
			Scattering Intensity : 11397 (cps)

Number Distribution Table

d (nm)	f(%)	f(cum.%)	d (nm)	f(%)	f(cum.%)	d (nm)	f(%)	f(cum.%)	d (nm)	f(%)	f(cum.%)
0.0	6.7	0.0	0.0	45.3	0.3	99.5	304.7	0.0	100.0		
0.0	7.3	0.0	0.0	48.9	0.2	99.7	328.9	0.0	100.0		
0.0	7.8	0.0	0.0	52.7	0.1	99.8	354.9	0.0	100.0		
0.0	8.5	0.0	0.0	56.9	0.1	99.9	383.1	0.0	100.0		
0.0	9.1	0.0	0.0	61.4	0.0	99.9	413.4	0.0	100.0		
0.0	9.9	0.0	0.0	66.3	0.0	99.9	446.2	0.0	100.0		
0.0	10.6	0.0	0.0	71.6	0.0	100.0	481.5	0.0	100.0		
0.0	11.5	0.0	0.0	77.2	0.0	100.0	519.7	0.0	100.0		
0.0	12.4	0.0	0.0	83.3	0.0	100.0	560.9	0.0	100.0		
2.0	0.0	0.0	13.4	0.0	0.0	90.0	0.0	100.0	605.3	0.0	100.0

Optimization Software:
www.balesio.com

2.1	0.0	0.0	14.4	0.0	0.0	97.1	0.0	100.0	653.3	0.0	100.0
2.3	0.0	0.0	15.6	23.9	23.9	104.8	0.0	100.0	705.0	0.0	100.0
2.5	0.0	0.0	16.8	19.0	43.0	113.1	0.0	100.0	760.9	0.0	100.0
2.7	0.0	0.0	18.1	14.9	57.8	122.0	0.0	100.0	821.2	0.0	100.0
2.9	0.0	0.0	19.6	11.4	69.2	131.7	0.0	100.0	886.3	0.0	100.0
3.1	0.0	0.0	21.1	8.6	77.8	142.1	0.0	100.0	956.5	0.0	100.0
3.4	0.0	0.0	22.8	6.4	84.2	153.4	0.0	100.0	1032.3	0.0	100.0
3.7	0.0	0.0	24.6	4.7	88.8	165.6	0.0	100.0	1114.1	0.0	100.0
3.9	0.0	0.0	26.6	3.4	92.2	178.7	0.0	100.0	1202.4	0.0	100.0
4.3	0.0	0.0	28.7	2.4	94.6	192.8	0.0	100.0	1297.7	0.0	100.0

D (10%) :

14.9 (nm)

D (50%) :

17.4 (nm)

D (90%) :

25.3 (nm)

Number Distribution

d (nm)	f(%)	f(cum.%)									
4.6	0.0	0.0	30.9	1.7	96.3	208.1	0.0	100.0	1400.5	0.0	100.0
5.0	0.0	0.0	33.4	1.2	97.5	224.6	0.0	100.0	1511.5	0.0	100.0
5.4	0.0	0.0	36.0	0.8	98.3	242.4	0.0	100.0	1631.2	0.0	100.0
5.8	0.0	0.0	38.9	0.6	98.9	261.6	0.0	100.0	1760.5	0.0	100.0
6.2	0.0	0.0	42.0	0.4	99.2	282.3	0.0	100.0	1900.0	0.0	100.0



Optimization Software:
www.balesio.com

Size Distribution Table

S/N : 123909

User : Common	Group :	Repetition : 1/1
Date : 9/13/2018	File Name : NP-Ag A_20180913_140334	
Time : 14:03:34	Sample Information :	
SOP Name : Sampel Uji PSA		Security : No Security

Version 2.31 / 2.03

Γ (1/sec)	d(nm)	f(%)	Int.	f(cum. %)int.	f(%)	Vol.	f(cum. %)Vol.	f(%)	No.	f(cum. %)No.
311407.4	1.0	0.0	0.0	0.0	0.0	0.0	0.0	0.00	0.00	0.00
288542.8	1.1	0.0	0.0	0.0	0.0	0.0	0.0	0.00	0.00	0.00
267357.0	1.2	0.0	0.0	0.0	0.0	0.0	0.0	0.00	0.00	0.00
247726.7	1.3	0.0	0.0	0.0	0.0	0.0	0.0	0.00	0.00	0.00
229537.7	1.4	0.0	0.0	0.0	0.0	0.0	0.0	0.00	0.00	0.00
212684.3	1.5	0.0	0.0	0.0	0.0	0.0	0.0	0.00	0.00	0.00
197068.2	1.6	0.0	0.0	0.0	0.0	0.0	0.0	0.00	0.00	0.00
182598.8	1.7	0.0	0.0	0.0	0.0	0.0	0.0	0.00	0.00	0.00
169191.8	1.8	0.0	0.0	0.0	0.0	0.0	0.0	0.00	0.00	0.00
156769.1	2.0	0.0	0.0	0.0	0.0	0.0	0.0	0.00	0.00	0.00
145258.6	2.1	0.0	0.0	0.0	0.0	0.0	0.0	0.00	0.00	0.00
134593.2	2.3	0.0	0.0	0.0	0.0	0.0	0.0	0.00	0.00	0.00
124710.9	2.5	0.0	0.0	0.0	0.0	0.0	0.0	0.00	0.00	0.00
115554.2	2.7	0.0	0.0	0.0	0.0	0.0	0.0	0.00	0.00	0.00
107069.8	2.9	0.0	0.0	0.0	0.0	0.0	0.0	0.00	0.00	0.00
99208.3	3.1	0.0	0.0	0.0	0.0	0.0	0.0	0.00	0.00	0.00
91924.1	3.4	0.0	0.0	0.0	0.0	0.0	0.0	0.00	0.00	0.00
85174.7	3.7	0.0	0.0	0.0	0.0	0.0	0.0	0.00	0.00	0.00
78920.9	3.9	0.0	0.0	0.0	0.0	0.0	0.0	0.00	0.00	0.00
73126.2	4.3	0.0	0.0	0.0	0.0	0.0	0.0	0.00	0.00	0.00
67757.1	4.6	0.0	0.0	0.0	0.0	0.0	0.0	0.00	0.00	0.00
62782.1	5.0	0.0	0.0	0.0	0.0	0.0	0.0	0.00	0.00	0.00
58172.4	5.4	0.0	0.0	0.0	0.0	0.0	0.0	0.00	0.00	0.00
53901.2	5.8	0.0	0.0	0.0	0.0	0.0	0.0	0.00	0.00	0.00
49943.6	6.2	0.0	0.0	0.0	0.0	0.0	0.0	0.00	0.00	0.00
46276.5	6.7	0.0	0.0	0.0	0.0	0.0	0.0	0.00	0.00	0.00
42878.8	7.3	0.0	0.0	0.0	0.0	0.0	0.0	0.00	0.00	0.00
39730.5	7.8	0.0	0.0	0.0	0.0	0.0	0.0	0.00	0.00	0.00
36813.3	8.5	0.0	0.0	0.0	0.0	0.0	0.0	0.00	0.00	0.00
34110.3	9.1	0.0	0.0	0.0	0.0	0.0	0.0	0.00	0.00	0.00
31605.8	9.9	0.0	0.0	0.0	0.0	0.0	0.0	0.00	0.00	0.00
29285.2	10.6	0.0	0.0	0.0	0.0	0.0	0.0	0.00	0.00	0.00
27135.0	11.5	0.0	0.0	0.0	0.0	0.0	0.0	0.00	0.00	0.00
25142.7	12.4	0.0	0.0	0.0	0.0	0.0	0.0	0.00	0.00	0.00
23296.6	13.4	0.0	0.0	0.0	0.0	0.0	0.0	0.00	0.00	0.00
	0.0	0.0	0.0	0.0	0.0	0.0	0.0	0.00	0.00	0.00
	0.4	0.4	8.8	8.8	23.90	23.90				
	0.5	0.8	8.8	17.6	19.05	42.95				
	0.6	1.4	8.6	26.2	14.87	57.83				
	0.7	2.1	8.3	34.5	11.40	69.22				
	0.8	2.9	7.9	42.4	8.59	77.81				
	1.0	3.9	7.3	49.8	6.37	84.18				
	1.1	5.0	6.8	56.5	4.66	88.84				



Optimization Software:
www.balesio.com

11728.0	26.6	1.3	6.3	6.1	62.6	3.36	92.20
10866.9	28.7	1.4	7.7	5.5	68.1	2.40	94.60
10069.0	30.9	1.6	9.3	4.9	73.0	1.69	96.29
9329.7	33.4	1.8	11.1	4.3	77.3	1.18	97.48

Γ (1/sec)	d(nm)	f(%)Int.	f(cum.%)int.	f(%)Vol.	f(cum.%)Vol.	f(%)No.	f(cum.%)No.
8644.7	36.0	1.9	13.0	3.7	81.0	0.82	98.29
8010.0	38.9	2.1	15.1	3.2	84.2	0.56	98.86
7421.8	42.0	2.2	17.3	2.7	87.0	0.38	99.24
6876.9	45.3	2.4	19.7	2.3	89.3	0.26	99.50
6372.0	48.9	2.5	22.3	2.0	91.3	0.17	99.67
5904.1	52.7	2.7	24.9	1.6	92.9	0.11	99.78
5470.6	56.9	2.8	27.7	1.4	94.3	0.08	99.86
5068.9	61.4	2.9	30.6	1.1	95.4	0.05	99.91
4696.8	66.3	3.0	33.6	0.9	96.3	0.03	99.94
4351.9	71.6	3.1	36.7	0.8	97.1	0.02	99.96
4032.4	77.2	3.1	39.8	0.6	97.7	0.01	99.98
3736.3	83.3	3.2	42.9	0.5	98.2	0.01	99.99
3462.0	90.0	3.2	46.1	0.4	98.6	0.01	99.99
3207.8	97.1	3.2	49.3	0.3	98.9	0.00	99.99
2972.3	104.8	3.2	52.5	0.2	99.1	0.00	100.00
2754.0	113.1	3.2	55.6	0.2	99.3	0.00	100.00
2551.8	122.0	3.1	58.7	0.2	99.5	0.00	100.00
2364.5	131.7	3.1	61.8	0.1	99.6	0.00	100.00
2190.8	142.1	3.0	64.8	0.1	99.7	0.00	100.00
2030.0	153.4	2.9	67.7	0.1	99.8	0.00	100.00
1880.9	165.6	2.8	70.5	0.1	99.8	0.00	100.00
1742.8	178.7	2.7	73.2	0.0	99.9	0.00	100.00
1614.9	192.8	2.6	75.8	0.0	99.9	0.00	100.00
1496.3	208.1	2.5	78.2	0.0	99.9	0.00	100.00
1386.4	224.6	2.3	80.6	0.0	99.9	0.00	100.00
1284.6	242.4	2.2	82.8	0.0	100.0	0.00	100.00
1190.3	261.6	2.1	84.8	0.0	100.0	0.00	100.00
1102.9	282.3	1.9	86.7	0.0	100.0	0.00	100.00
1021.9	304.7	1.8	88.5	0.0	100.0	0.00	100.00
946.9	328.9	1.6	90.2	0.0	100.0	0.00	100.00
877.4	354.9	1.5	91.7	0.0	100.0	0.00	100.00
813.0	383.1	1.4	93.0	0.0	100.0	0.00	100.00
753.3	413.4	1.2	94.2	0.0	100.0	0.00	100.00
698.0	446.2	1.1	95.4	0.0	100.0	0.00	100.00
646.7	481.5	1.0	96.3	0.0	100.0	0.00	100.00
599.2	519.7	0.9	97.2	0.0	100.0	0.00	100.00
555.2	560.9	0.8	97.9	0.0	100.0	0.00	100.00
514.5	605.3	0.6	98.6	0.0	100.0	0.00	100.00
476.7	653.3	0.6	99.1	0.0	100.0	0.00	100.00
441.7	705.0	0.5	99.6	0.0	100.0	0.00	100.00
409.3	760.9	0.4	100.0	0.0	100.0	0.00	100.00
379.2	821.2	0.0	100.0	0.0	100.0	0.00	100.00
351.4	886.3	0.0	100.0	0.0	100.0	0.00	100.00
325.6	956.5	0.0	100.0	0.0	100.0	0.00	100.00
301.7	1032.3	0.0	100.0	0.0	100.0	0.00	100.00
		0.0	100.0	0.0	100.0	0.00	100.00
		0.0	100.0	0.0	100.0	0.00	100.00
		0.0	100.0	0.0	100.0	0.00	100.00
		0.0	100.0	0.0	100.0	0.00	100.00
		0.0	100.0	0.0	100.0	0.00	100.00





Delsa™ Nano

Common

Cumulative Size Distribution Table

S/N : 123909

User : Common	Group :	Repetition : 1/1
Date : 9/13/2018	File Name : NP-Ag A_20180913_140334	
Time : 14:03:34	Sample Information :	
SOP Name : Sampel Uji PSA		Security : No Security

Version 2.31 / 2.03

Cum.%	d (nm)	Int. Dist.	d (nm)	Vol. Dist.	d (nm)	No. Dist.
5		24.6		15.1		14.7
10		31.9		15.7		14.9
15		38.8		16.4		15.1
20		45.7		17.2		15.4
25		52.8		17.9		15.6
30		60.4		18.8		16.0
35		68.7		19.7		16.3
40		77.7		20.6		16.6
45		87.6		21.7		17.0
50		98.7		22.9		17.4
55		111.4		24.2		17.9
60		125.9		25.7		18.4
65		143.0		27.4		19.0
70		163.4		29.5		19.7
75		188.5		32.0		20.6
80		220.5		35.3		21.7
85		263.5		39.7		23.1
90		326.5		46.5		25.3
95		435.5		59.8		29.2
100		760.9		760.9		261.6



Optimization Software:
www.balesio.com

Lampiran 9. Data Hasil Karakterisasi Nanopartikel Perak Menggunakan XRD

*** Basic Data Process ***

Group : Standard
Data : N#Ag#A

Strongest 3 peaks

no.	peak no.	2Theta (deg)	d (Å)	I/I ₁₁	FWHM (deg)	Intensity (Counts)	Integrated (Counts)	Int
1	5	44.0621	2.05354	100	0.17690	2296	22095	
2	10	77.5417	1.23010	71	0.22610	1631	21201	
3	2	37.8241	2.37662	67	0.17450	1534	15175	

Peak Data List

peak no.	2Theta (deg)	d (Å)	I/I ₁₁	FWHM (deg)	Intensity (Counts)	Integrated (Counts)	Int
1	33.9788	2.63626	15	0.15110	341	2990	
2	37.8241	2.37662	67	0.17450	1534	15175	
3	39.5392	2.27739	26	0.14770	589	4994	
4	43.7600	2.06701	5	0.11660	120	1203	
5	44.0621	2.05354	100	0.17690	2296	22095	
6	57.5047	1.60137	15	0.16520	333	3433	
7	64.4279	1.44499	55	0.19410	1262	14468	
8	68.8240	1.36303	18	0.19060	415	4328	
9	69.2459	1.35575	4	0.12310	91	548	
10	77.5417	1.23010	71	0.22610	1631	21201	
11	77.9200	1.22508	3	0.11140	76	1144	



Optimization Software:
www.balesio.com

```

*** Basic Data Process ***

# Data Infomation
    Group          : Standard
    Data           : N#Ag#A
    Sample Nmae   : serbuk
    Comment        :
    Date & Time   : 08-30-18 11:02:08

# Measurement Condition
    X-ray tube
        target: Cu
        Voltage      : 40.0 (kV)
        current      : 30.0 (mA)

    Slits
        Auto Slit     : Used
        divergence slit: 1.00000 (deg)
        scatter slit   : 1.00000 (deg)
        receiving slit: 0.30000 (mm)

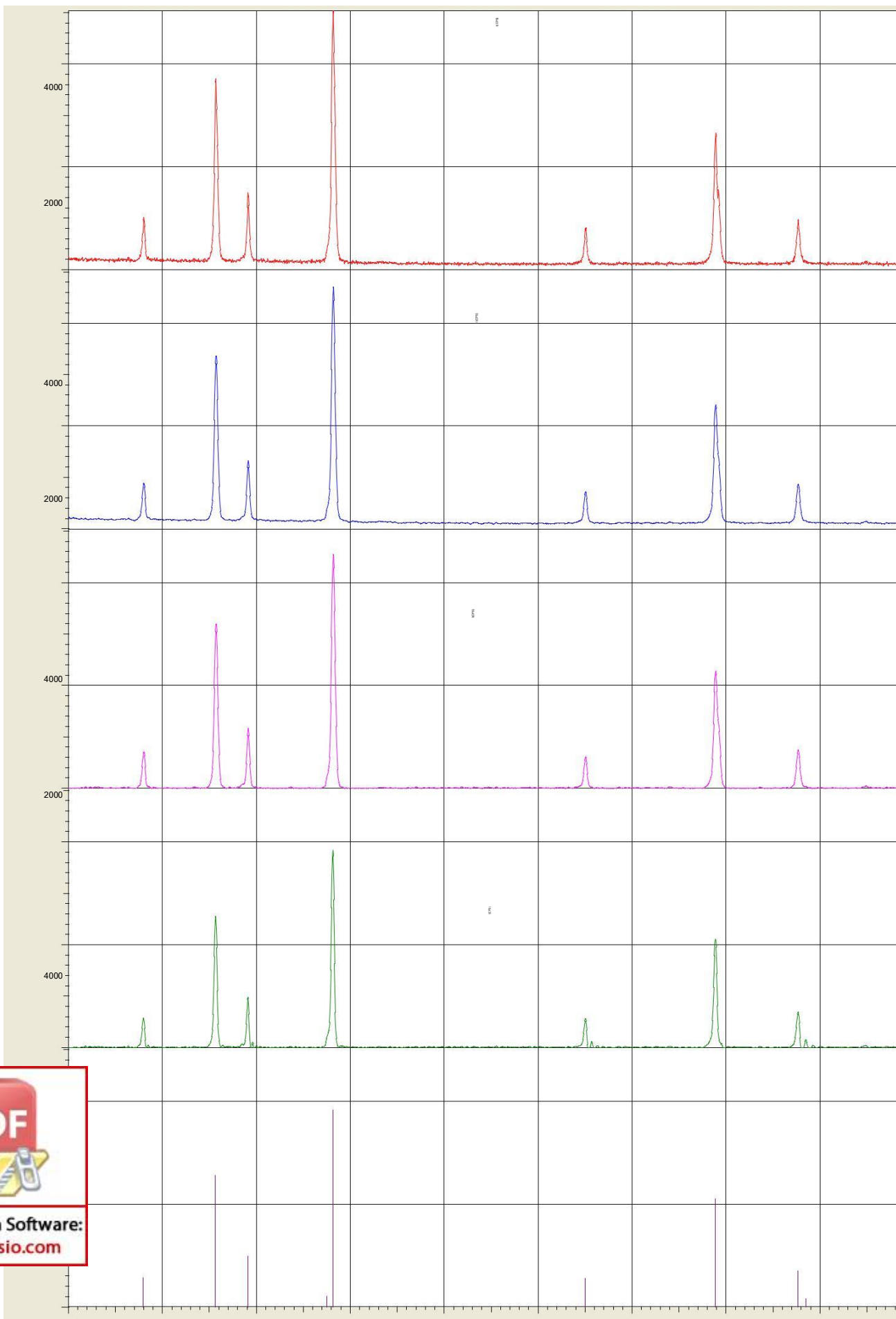
    Scanning
        drive axis     : Theta-2Theta
        scan range     : 30.0000 - 80.0000 (deg)
        scan mode       : Continuous Scan
        scan speed      : 2.0000 (deg/min)
        sampling pitch  : 0.0200 (deg)
        preset time     : 0.60 (sec)

# Data Process Condition
    Smoothing      [ AUTO ]
        smoothing points : 13
    B.G.Subtraction [ AUTO ]
        sampling points : 13
        repeat times   : 30
    Kal-a2 Separate [ MANUAL ]
        Kal a2 ratio   : 50 (%)
    Peak Search      [ AUTO ]
        differential points : 11
        FWHM threshold   : 0.050 (deg)
        intensity threshold: 30 (par mil)
        FWHM ratio (n-1)/n: 2
    System error Correction [ NO ]
    Precise peak Correction [ NO ]

```

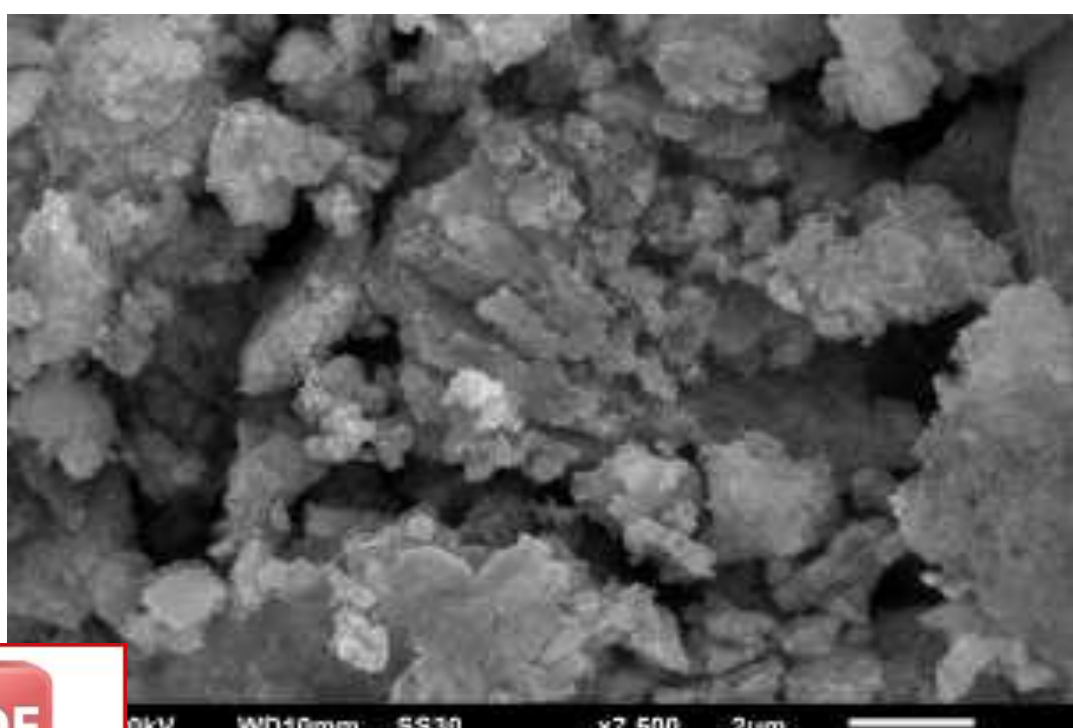
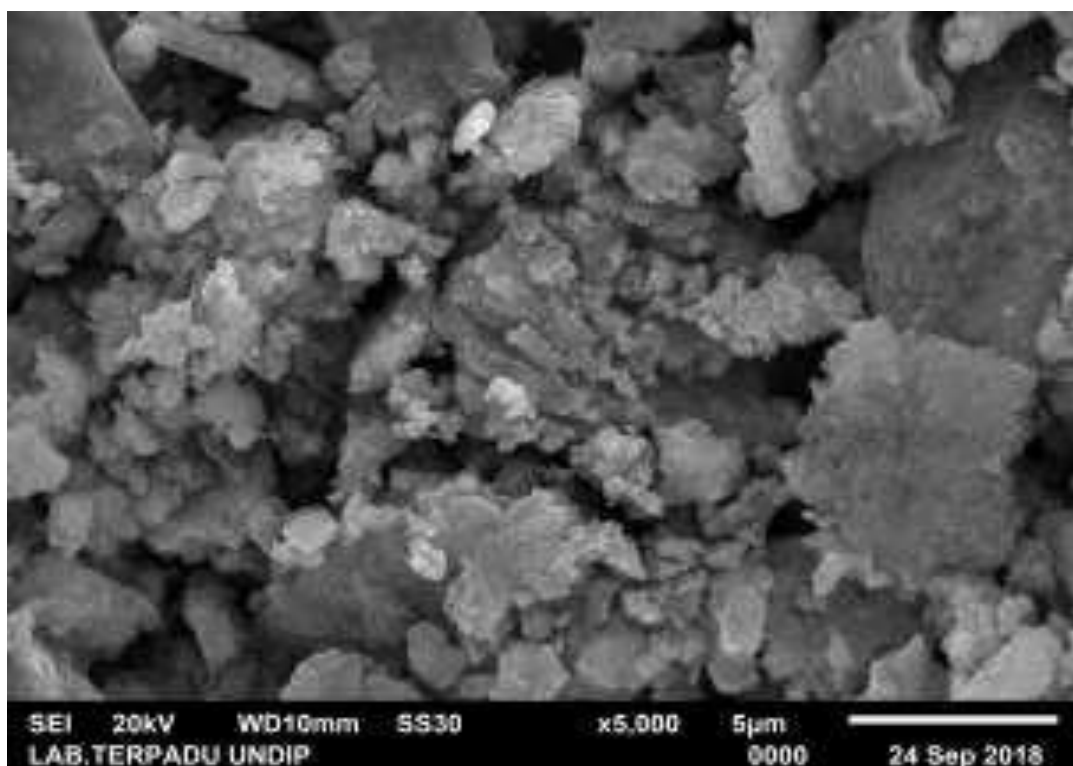


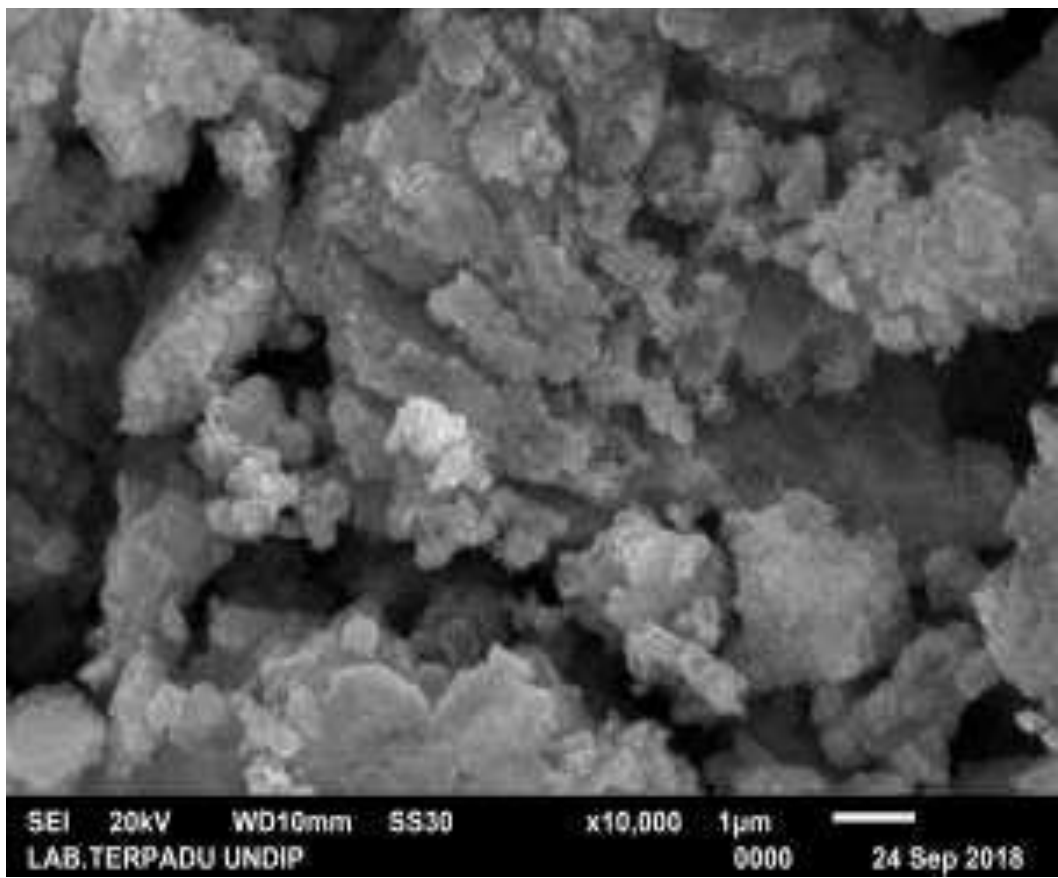
< Group: Standard Data: N#Ag#A >



Optimization Software:
www.balesio.com

Lampiran 10. Data Hasil Karakterisasi SEM

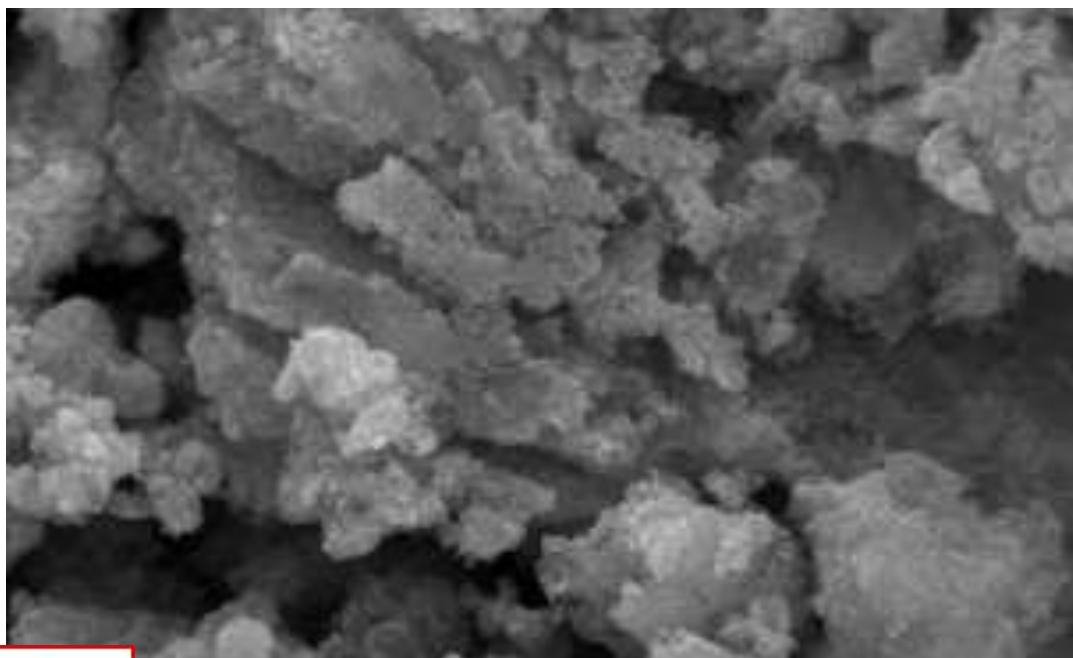




SEI 20kV WD10mm SS30
LAB.TERPADU UNDIP

x10,000 1μm
0000

24 Sep 2018

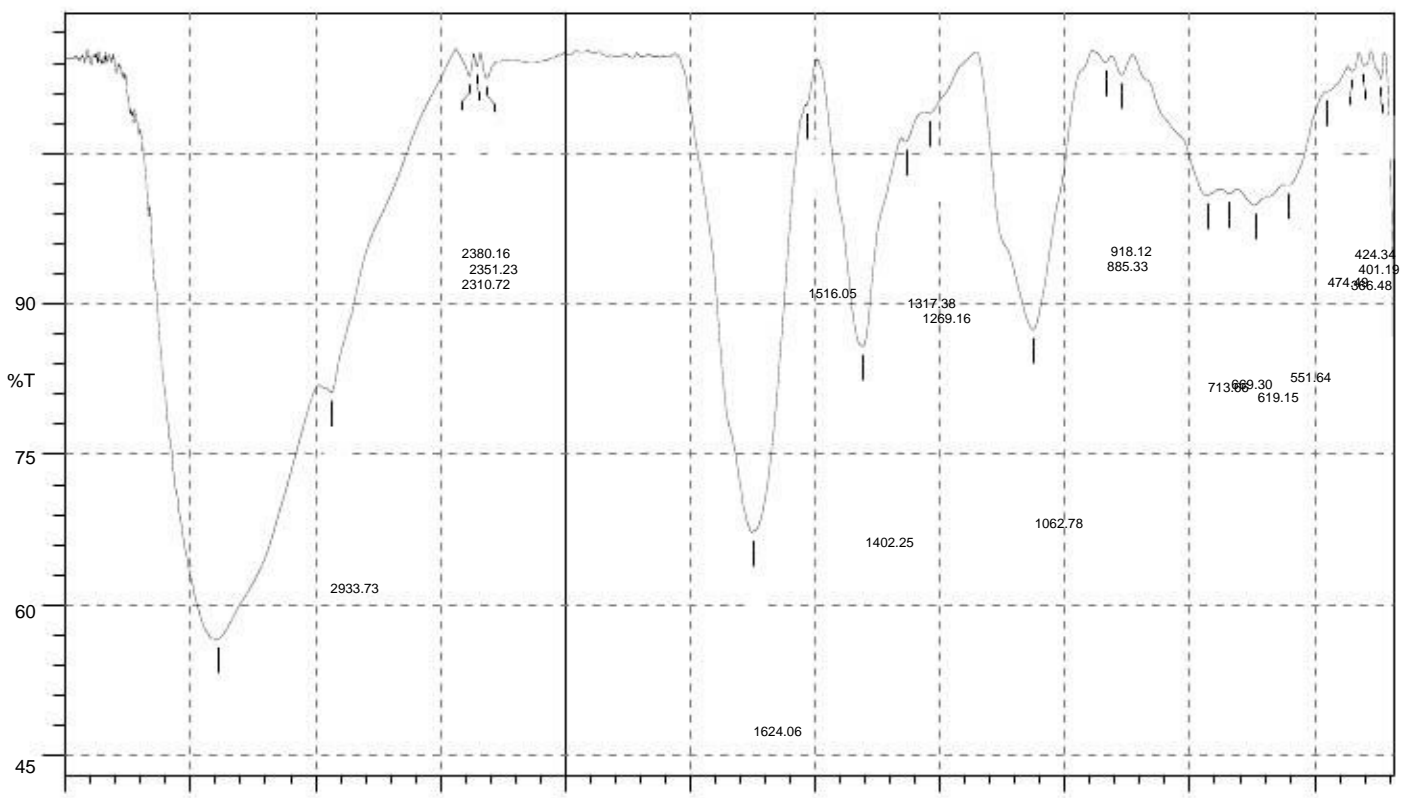


20kV WD10mm SS30
TERPADU UNDIP

x15,000 1μm
0000

24 Sep 2018





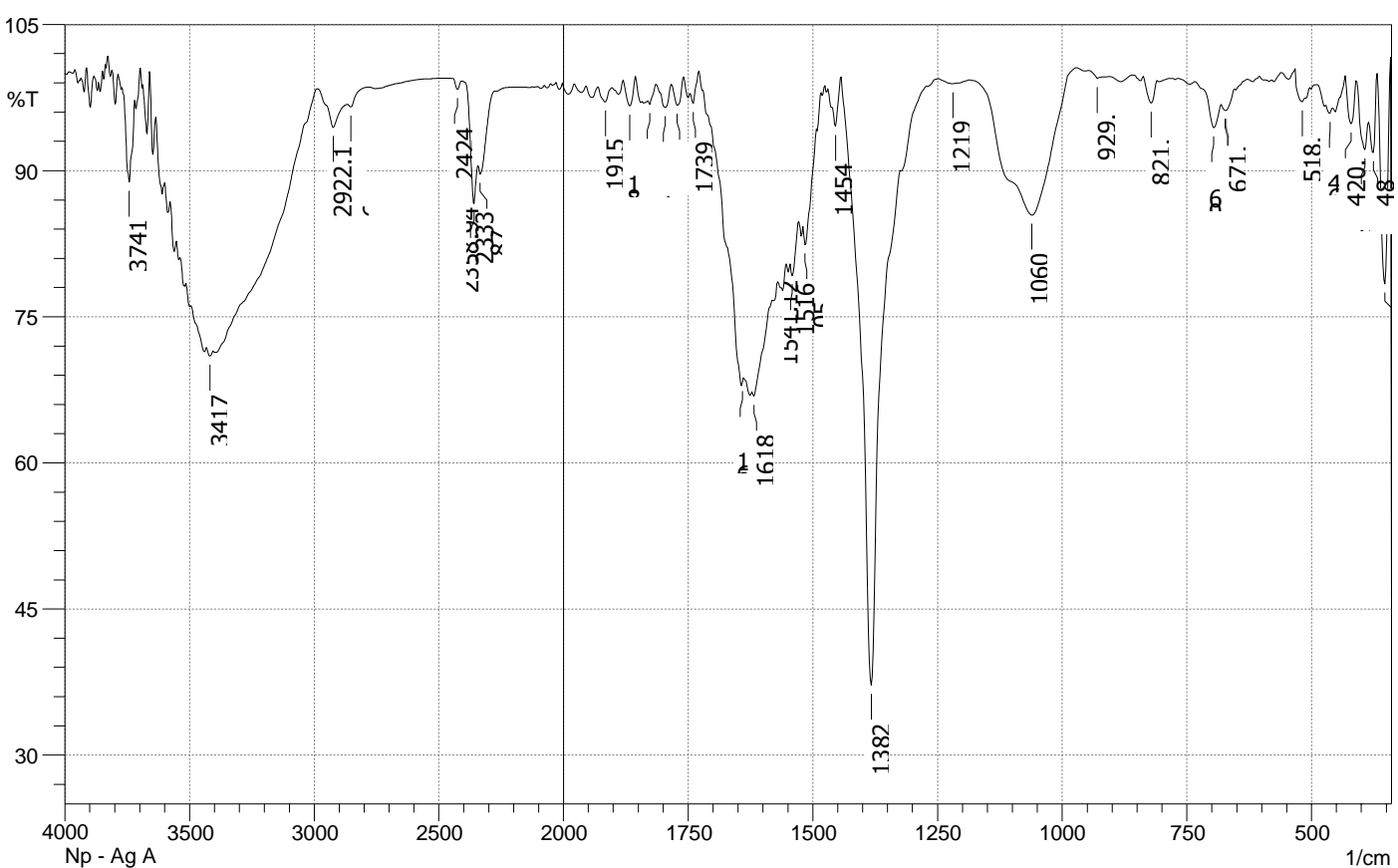
30		3000	2500	2000	1750	1500	1250	1000	750	500
		1/cm⁻¹								
No.	Peak	Intensity	Corr. Intensity	Base (H)	Base (L)	Area	Corr. Area			
1	366.48	97.352	1.781	372.26	360.69	0.099	0.055			
2	401.19	98.671	1.334	410.84	385.76	0.08	0.082			
3	424.34	98.133	0.965	432.05	410.84	0.134	0.067			
4	474.49	96.038	0.128	476.42	432.05	0.581	0.069			
5	551.64	86.753	0.936	559.36	478.35	3.445	0.326			
6	619.15	84.745	1.784	653.87	561.29	6.224	0.435			
7	669.3	85.895	0.458	684.73	655.8	1.88	0.037			
8	713.66	85.784	2.648	862.18	686.66	6.71	0.967			
9	885.33	97.754	1.927	904.61	864.11	0.233	0.178			
10	918.12	98.989	0.8	937.4	904.61	0.08	0.055			
11	1062.78	72.371	27.72	1174.65	945.12	16.405	16.497			
12	1269.16	93.966	0.26	1273.02	1176.58	1.243	0.057			
13	1317.38	91.089	0.845	1325.1	1282.66	1.435	0.068			
14	1402.25	70.684	24.317	1492.9	1327.03	13.366	9.853			
15	1516.05	94.686	0.508	1517.98	1496.76	0.319	0.041			
16	1624.06	52.14	1.375	1778.37	1620.21	20.673	0.699			
17	2310.72	97.401	2.239	2337.72	2264.43	0.489	0.338			
18	2351.23	98.579	1.32	2362.8	2337.72	0.091	0.081			
19	2380.16	97.632	2.342	2434.17	2362.8	0.327	0.359			
20	2933.73	66.119	1.679	2953.02	2436.09	37.916	0.291			
21	3388.93	41.542	0.37	3394.72	2983.88	118.008	4.251			



Date/Time; 6/7/2018 2:10:47 PM
No. of Scans;

Resolution;
Apodization;

Lampiran 12. Data Hasil Karakterisasi Nanopartikel Perak Menggunakan FTIR



	Peak	Intensity	Corr. Intensity	Base (H)	Base (L)	Area	Corr. Area
1	352.97	78.373	21.292	368.4	343.33	1.5	1.468
2	376.12	91.861	5.892	385.76	368.4	0.436	0.24
3	393.48	92.156	4.136	410.84	385.76	0.587	0.265
4	420.48	94.824	4.65	432.05	410.84	0.328	0.282
5	462.92	95.884	0.625	470.63	459.06	0.197	0.021
6	518.85	97.086	1.274	532.35	513.07	0.197	0.108
7	671.23	96.177	1.192	680.87	653.87	0.373	0.087
8	696.3	94.417	2.896	732.95	682.8	0.693	0.217
9	821.68	96.946	2.49	837.11	810.1	0.235	0.173
10	929.69	99.468	0.563	947.05	904.61	0.044	0.039
11	1060.85	85.441	14.595	1184.29	972.12	7.037	6.979
12	1219.01	98.934	0.157	1247.94	1211.3	0.144	0.019
13	1382.96	37.17	57.577	1442.75	1325.1	16.795	13.972
14	1454.33	94.557	4.548	1469.76	1442.75	0.382	0.266
15	1516.05	82.389	3.365	1519.91	1485.19	1.734	0.333
16	1541.12	79.21	2.293	1544.98	1529.55	1.391	0.126
17	1618.28	66.861	1.353	1622.13	1581.63	5.884	0.147
18	1641.42	68.259	1.172	1728.22	1639.49	6.332	0.136
19	1739.79	96.896	1.797	1745.58	1728.22	0.132	0.061
20	1772.58	96.719	2.506	1784.15	1759.08	0.239	0.157
21	1795.73	96.48	2.399	1815.02	1784.15	0.325	0.174
22	1826.59	96.824	0.767	1830.45	1815.02	0.163	0.029
23	1867.09	96.655	2.844	1880.6	1855.52	0.239	0.182
24	1915.31	97.07	1.477	1930.74	1903.74	0.27	0.099
25	2333.87	89.625	1.768	2341.58	2276	1.782	0.215
26	2358.94	86.631	5.992	2407.16	2343.51	1.878	0.53
27	2424.52	98.35	0.956	2457.31	2407.16	0.209	0.067
28	2852.72	96.551	0.56	2866.22	2787.14	0.784	0.043
29	2922.16	94.463	3.08	2985.81	2868.15	1.913	0.668
30	3417.86	70.97	0.675	3431.36	3406.29	3.695	0.063
31		0.06	8.974	3770.84	3720.69	1.537	1.064



Optimization Software:
www.balesio.com

Lampiran 13. Dokumentasi



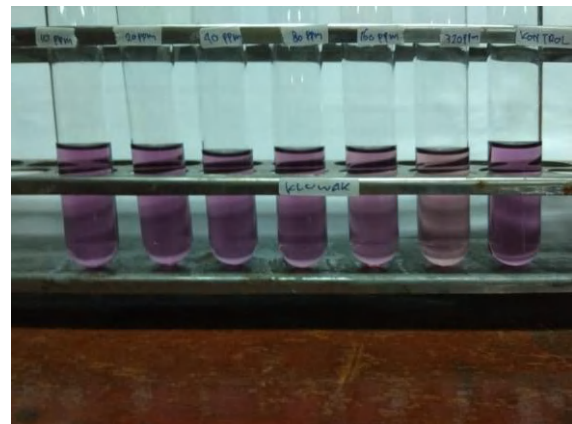
Sampel



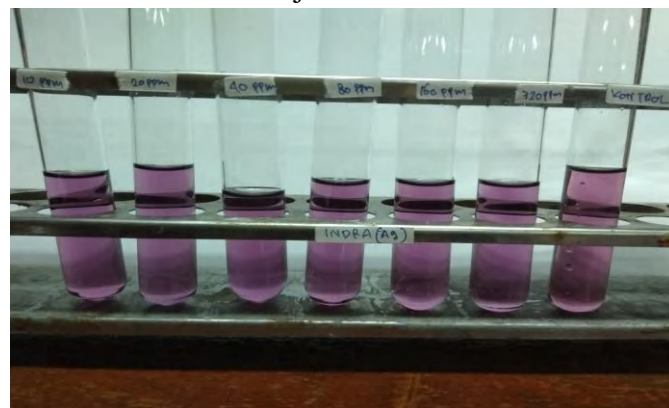
Menimbang AgNO₃



Nanopartikel Perak



Uji Antioksidan Ekstrak Daun Kluwak





Spektrofotometer UV-Vis

FTIR



XRD



SEM



PSA



Lampiran 14. Perkiraan Mekanisme Reaksi Sintesis Nanopartikel Perak Dengan Menggunakan Ekstrak Daun Kluwak (Pangium Edule Reinw)

